

# ПЕТРОЛОГИЯ, ВУЛКАНОЛОГИЯ

УДК 552.3+549.01+549.08

## Пузыристые лавы алмазопродуктивного Толбачинского трещинного извержения 2012–2013 гг. (ТТИ-50, Камчатка)

**В.И. Силаев<sup>a</sup>, Л.П. Аникин<sup>b</sup>, Г.А. Карпов<sup>b</sup>, Д.Н. Ремизов<sup>c</sup>, А.С. Мяндин<sup>a</sup>,  
В.Н. Филиппов<sup>a</sup>, А.Ф. Хазов<sup>a</sup>, В.П. Лютоев<sup>a</sup>, Д.В. Киселева<sup>d</sup>**

<sup>a</sup>Институт геологии Коми НЦ УрО РАН

167982, Сыктывкар, ул. Первомайская, 54. E-mail: silaev@geo.komisc.ru

<sup>b</sup>Институт вулканологии и сейсмологии ДВО РАН

683006, Петропавловск-Камчатский, бул. Пийпа, 9. E-mail: karpovga@kscnet.ru

<sup>c</sup>Всероссийский НИИ им. А.П. Карпинского

199196, Санкт-Петербург, Средний пр. ВО, 74

<sup>d</sup>Институт геологии и геохимии УрОРАН

620086, Екатеринбург, ул. ак. Вонсовского, 15

(Статья поступила в редакцию 16 мая 2022 г.)

Обобщены результаты комплексных петрологических, геохимических и минералогических исследований эфузивных вулканитов алмазопродуктивного Толбачинского Трещинного извержения 2012–2013 гг. (ТТИ-50). Сделан вывод о двухфазности извержения, начавшегося эruptionью трахиандезибазальтов, кратковременно сменившихся трахибазальтами. В сравнении с лавами других Толбачинских извержений (БТТИ) исследованные вулканиты характеризуются большей щелочностью, высокой калиевостью (до шошонитов), но меньшей магнезиальностью. По геохимическим свойствам они соответствуют рифтогенным магматитам, образовавшимся за счет глубинно-мантийного очага магмы пикритового состава. Исследованные вулканиты характеризуются широко варьирующейся везикулярностью вплоть до пузыристых лав, на 80–90% состоят из вулканического стекла, степень раскристаллизации которого колеблется от максимальной в эфузивных трахиандезибазальтах до минимальной в бомбе трахиандезибазальта. По степени окисленности железа в стеклофазе вулканиты отвечают продуктам наземных извержений в островодужной или континентально-рифтовой геодинамической обстановке. Среди микролитов преобладают оливин состава  $Fo_{56-84}$ , плагиоклазы состава  $An_{87 \pm 9} Ab_{9 \pm 10} Or_{4 \pm 2}$  и шпинелидные твердые растворы на основе магнетита, магноферрита, ульвита и купрошпинели. Индивиды распада в фазово-гетерогенных зернах магнетита представлены гемоильменитом и ильменитом. В качестве акцессорных минералов-микролитов установлены джирит-спионкопит состава  $Cu_{1.7}S-Cu_{1.32}S$ , самородное железо состава  $Fe_{75}Sn_4(Cu, Mn, Cr)$  и самородная медь состава  $Cu_{7-10}(Sn_{0.9-1.8}Fe_{0.1-0.2})_{1-2}$ .

Ключевые слова: Толбачинское трещинное извержение, эфузивы, петро-минералого-геохимические свойства.

DOI: 10.17072/psu.geol.21.3.193

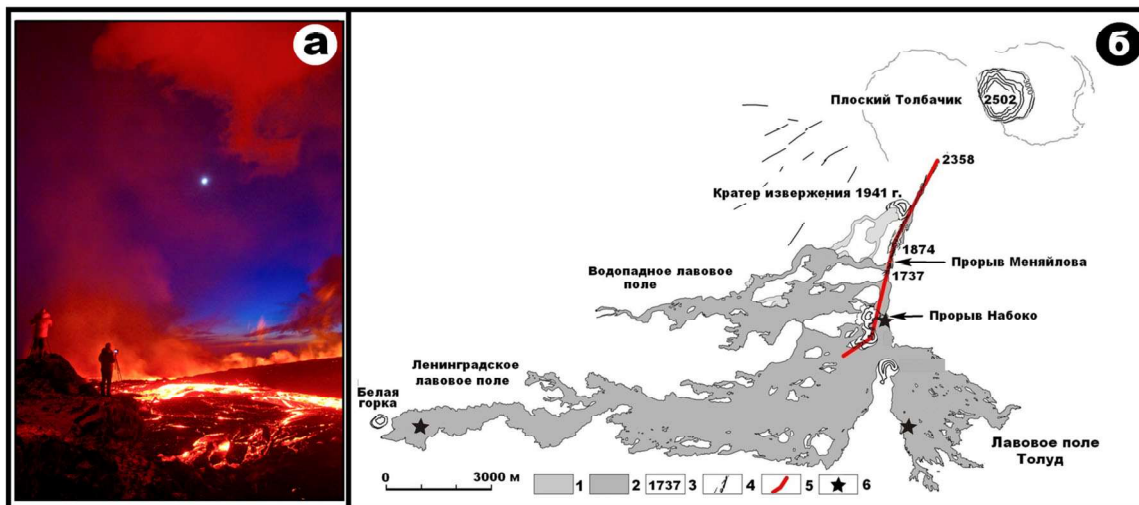
### Введение

Толбачинское трещинное извержение им. 50-летия ИВиС ДВО РАН (ТТИ-50) произошло на юго-юго-западном склоне вулкана Плоский Толбачик в период 27.12.2012–09.10.2013 гг. (рис. 1). В начальный период эruptionии происходили синхронно из двух трещин субмеридионального простирания, имеющих протяженность по 500 м каждая.

Затем извержение локализовалось в двух центрах: в верхнем – Прорыве Меняйлова и нижнем – Прорыве Набоко. Через пять дней Прорыв Меняйлова прекратил свою активность, и в дальнейшем извержение происходило только через Прорыв Набоко, который имел в разное время до трех действующих жерл. Поступление и излияние магмы осуществлялось непрерывно с тенденцией уменьшения кремнекислотности и щелочно-

сти от начального периода (прорыв Меняйлова и первые порции излияния прорыва Набоко) к более позднему. ТТИ-50, помимо обычных динамических, морфологических и геофизических свойств, отличалось аномальными особенностями (Волынец и др., 2013; Гордеев и др., 2014; Карпов и др., 2014; Силаев и др., 2015; Хубуная и др., 2016; Волынец и др., 2017; Волынец и др., 2017; Силаев и др., 2019; Гордеев и др., 2019): 1) за-

ложением трещин непосредственно в теле вулкана Плоский Толбачик на большой высоте (около 2100 м); 2) специфичным строением и составом лав, в частности их высокой калиевостью; 3) уникально большим притоком лавы на начальной стадии извержения, достигавшим  $430 \text{ м}^3/\text{s}$ ; 4) невиданной ранее алмазоносностью некоторых продуктов извержения.



**Рис. 1.** Фото (а) и карта продуктов (б) Толбачинского трещинного извержения имени 50-летия Института вулканологии и сейсмологии ДВО РАН (ТТИ-50): 1 – лавовое поле начального периода извержения; 2 – лавовые поля более позднего периода извержения (нерасчлененные); 3 – абсолютные отметки высот; 4 – старые трещины; 5 – система трещин, к которым были приурочены прорывы извержения ТТИ-50; 6 – алмазоносные участки на лавовых полях

В настоящей статье обобщаются результаты петролого-минералого-геохимических исследований эфузивной фации ТТИ-50, представленной серией образцов из музейной коллекции Института вулканологии и сейсмологии ДВО РАН (С.А. Хубуная) и образцами, системно отобранными А.С. Мяндиным непосредственно на основных лавовых полях ТТИ-50 в ходе полевых исследований в 2016 г.

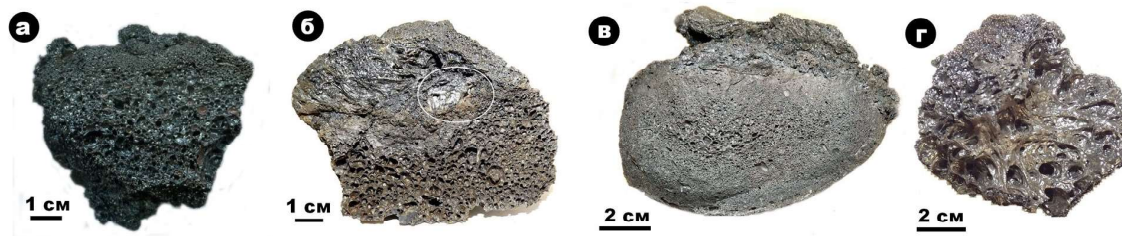
## Методы исследований

В процессе исследований толбачинских эфузивов использовались: оптическая микроскопия (Полам Р-312 в комплекте с компьютеризированным комплексом OLYMPUS BX51); аналитическая сканирующая электронная микроскопия (JSM-6400, оснащенный энергодисперсионным и волновым спектрометрами); методы кулонометрического титрования по величине pH (экспресс-

анализатор Аи-7529М) и рентгенофлюоресцентного анализа (MESA-500W); масс-спектрометрия индуктивно связанный плазмы (Perkin Elmer ELAN 9000); рентгеновская дифрактометрия (Shimadzy XRD-6000); ИК-спектроскопия поглощения (фурье-спектрометр Люмекс ИнфраЛЮМ ФТ-02); мёссбауэровская спектроскопия (MS-1104Em). Анализы осуществлялись в ЦКП «Геонаука» при Институте геологии Коми НЦ УрО РАН и в ЦКП «Геоаналитик» при Институте геологии и геохимии УрО РАН.

## Петрохимия, микроэлементы и геодинамическая природа

Исследованные образцы представляют собой лавовую фацию вулканитов, характеризующихся специфичным химическим составом и сильно варьирующей везикулярностью (рис. 2), обусловленной дегазацией первичного расплава в ходе извержения.

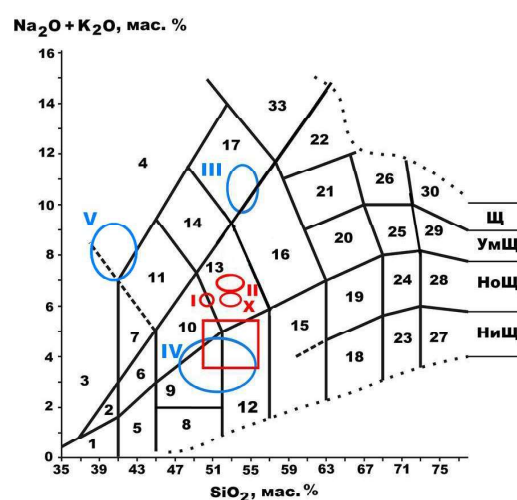


**Рис. 2.** Внешний вид исследованных продуктов ТТИ-50: а – трахиандезибазальт; б – трахивазальт с ксенолитами трахиандезибазальта (отмечено кружком), в – бомба трахиандезибазальта, г – сильнопузырьственный шлаковидный трахиандезибазальт

По химическому составу (рис. 3) исследованные образцы отвечают высококалиевым трахиандезибазальтам и спорадически встречающимся трахивазальтам. Последние иногда содержат мелкие ксенолиты трахиандезибазальтового состава. Это свидетельствует о двух генерациях эфузивов ТТИ-50 – ранней трахиандезибазальтовой, формировавшейся в длительном интервале времени, и поздней непродолжительной трахивазальтовой. Последнее подтверждается обнаружением в образце трахивазальта микроксенолитов трахиандезимазальта. Кроме того, был исследован образец бомбы трахиандезибазальтов, несколько отличающейся по петроминералогическим свойствам от собственно эфузивов.

Все исследованные породы отвечают субщелочному, высокоглиноземистому ( $MgO / Al_2O_3 = 0.21 \pm 0.05$ ) и умеренно высокотитанистому ( $TiO_2 / SiO_2 = 0.03–0.04$ ) типу. Содержание щелочей в них прямо коррелируется с содержанием  $SiO_2$ , а содержания  $TiO_2$  и  $MgO$ , напротив, коррелируются обратно. Полученные нами данные хорошо корреспондируют с данными С.А. Хубуная (Хубуная и др., 2016). Особенностью щелочности трахиандезибазальтов и трахивазальтов ТТИ-50 является их обогащенность калием. По содержанию  $K_2O$  эти породы вполне отвечают шошонитовой серии (Pescerillo, Taylor, 1976), принципиально отличаясь от стандартных для Центральной и Восточно-Южной Камчатских вулканических зон низко и умеренно-калиевых островодужных базальтоидов четвертичного возраста, включая эфузивы БТТИ (Эрлих, 1979; БТТИ, 1980). Как известно (Добрецов, 2018), высококалиевые трахиандезибазальты характерны не столько для субдукционного,

сколько для плутонового вулканизма с глубинно-мантийным источником вещества.



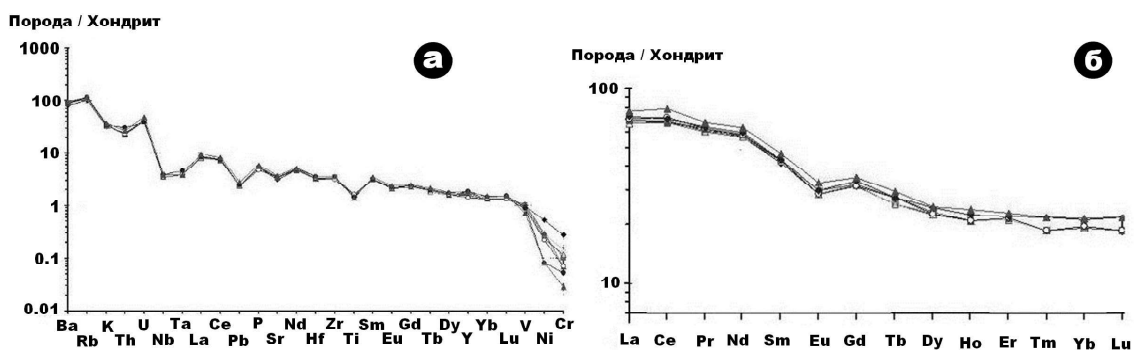
**Рис. 3.** Поля на диаграмме TAS: 1 – пикриты; 2, 3 – пикриты, соответственно умеренно-щелочные и щелочные; 4 – фонидиты; 5–8 – пикробазальты, соответственно, ультраосновные, умеренно-щелочные, щелочные, основные; 9 – базальты; 10 – трахивазальты; 11 – базальты щелочные; 12 – андезивазальты; 13 – трахиандезибазальты; 14 – фонотефриты; 15 – андезиты; 16 – трахиандезиты; 17 – тифрифонолиты; 18 – дациты низкощелочные; 19 – дациты; 20 – трахидакиты; 21 – трахиты; 22 – фонолиты; 23 – низкощелочные риодакиты; 24 – риодакиты низкощелочные; 25 – трахиродакиты; 26 – щелочные риодакиты (пантеллериты); 27 – низкощелочные риолиты; 28 – риолиты; 29 – трахироидакиты; 30 – щелочные риолиты (комендиты). Серии: НиЩ – низко-щелочная, НоЩ – нормально-щелочная, Щ – щелочная. Составы исследуемых пород: I, II – валовые составы соответственно трахивазальтов и трахиандезибазальтов; III–V – гомогенной низкожелезистой стеклофазы в трахиандезибазальтах (III) и трахивазальтах (IV), высокожелезистой гомогенной стеклофазы в трахиандезибазальтах; X – данные С. А. Хубуная о валовом составе трахиандезибазальтов ТТИ-50 (Хубуная и др., 2016). Красной рамкой показана статистика валового химического состава лавовых продуктов извержения вулканов Восточно-Южной Камчатской зоны (Эрлих, 1979)

В вулканитах ТТИ-50 установлено 45 микроэлементов, содержания которых лежат в следующих пределах (г/т): Li 18–22; Be 1.5–2; Rb 56–70; Sr 274–330; Sc 23–30; V 214–330; Cr 8–79; Co 24–40; Ni 11–71; Ga 20–22; Cu 270–275; Zn 125–130; Y 39–52; Zr 226–280; Nb 7–9; Ag 0.1–0.2; Mo 1–2; Cd 0–0.2; Sn 3–4; Cs 1–3; Ba 504–604; Ln 160–165; Hf 6–7.5; Ta 0.5–1; W 0.5–1; Re 0–0.1; Tl 0–0.3; Pb 6–10; As 0–2; Sb 0.5–1; Bi 0–0.1; Th 2–4; U 1–3. Кроме того, в исследуемых породах нами определено валовое содержание углерода (мас. %): трахиандезибазальты – 0.04; трахибазальты – 0.02; шлаковидные трахиандезибазальты – 0.018; бомба трахиандезибазальта – 0.015. Изотопный состав этого углерода в эфузивах определился в очень узком диапазоне:  $\delta^{13}\text{C} = -24.4\ldots -24.3\text{\%}$ , что соответствует mode генерального распределения, полученного для камчатских вулканитов (Силаев и др., 2019).

Проведенный анализ показал, что исследуемые вулканиты характеризуются рядом устойчивых и при том специфичных геохимических свойств. В них когерентные (Cr, Ni, Co, Cu, V) микроэлементы примерно в два раза преобладают над некогерентными (Rb, Zr, Y, Pb, W, Th, U) при далеко не минимальном содержании последних. Отсутствие на кривой спайдер-диаграммы (рис. 4, а) Та-Nb аномалии сближает их с базальтоидами трапповой формации, а незначительность Eu-аномалии говорит о слабом

проявлении фракционирования плагиоклазов. С другой стороны, умеренная ( $\text{La}^*/\text{Yb}^* = 3\text{--}5$ ) дифференциация лантаноидов (рис. 4, б) свидетельствует о реализации фракционирования оливина и клинопироксена. Исходный расплав по составу был, похоже, близок к пикритовому.

Геодинамическая природа исследуемых пород, определяемая по другим геохимическим критериям, может быть интерпретирована следующим образом. На диаграмме  $\text{Zr}/\text{Zr}/\text{Y}$  (Pearce, Norry, 1979) точки состава исследованных образцов попали в поле внутриплитных базальтоидов, а на диаграмме  $\text{La}/\text{Yb}^* - \text{Th}/\text{Nb}$  (Hollocher et al., 2012) они легли в поле континентальных вулканических дуг. По изотопному составу стронция и неодима эфузивы ТТИ-50 весьма однородны (Хубуная и др., 2016):  $\delta^{87}\text{Sr}/\delta^{86}\text{Sr} = 0.70336 - 0.70341$ ;  $\delta^{143}\text{Nd}/\delta^{144}\text{Nd} = 0.51309 - 0.51310$ , что свидетельствует об отсутствии в ходе ТТИ-50 ассимиляции коровым материалом. Эти данные согласуются с полученными ранее аналогичными данными для БТТИ, ТТИ-50, Ключевского вулкана (БТТИ, 1984; Portnyagin et al., 2015; Churikova et al., 2015; Силаев и др., 2022) и вообще для вулканов тихоокеанского «огненного» кольца (Хедж, Горшков, 1977). В глобальных координатах исследованные нами лавы по Sr-Nd изотопии вполне соответствуют современному состоянию верхней мантии (Костицын, 2007).



**Рис. 4.** Спайдер-диаграмма (а) и хондрит-нормированные тренды лантаноидов (б), характеризующие эфузивы ТТИ-50

Таким образом, судя по геохимическим данным, эфузивы ТТИ-50 не являются производными узко островодужного магматизма. На это указывают и повышенная калиевость вулканитов, и соотношение когерент-

ных и некогерентных микроэлементов, и отсутствие признаков ассимиляции веществом земной коры. Сделанный вывод можно считать вполне ожидаемым, поскольку уже известно, что в молодых камчатских вулкани-

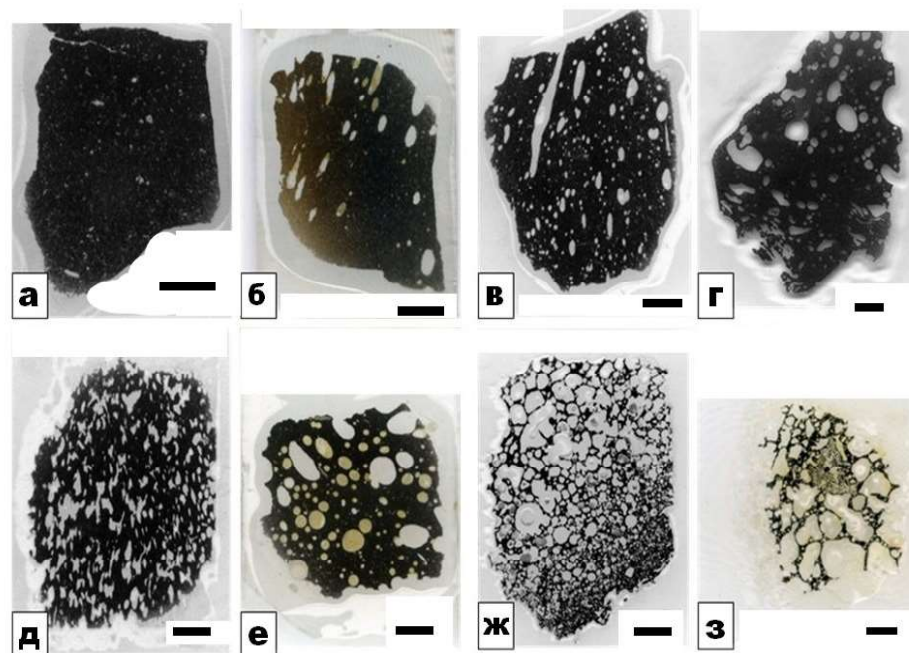
так надежные признаки островодужного происхождения проявляются, начиная лишь с андезидацитов, усиливаясь в дацитах (Перепелов и др., 2006; Ionov, 2010). В нашем случае можно предположить, что генерация исходного, вероятно, пикритоидного по составу, расплава была обусловлена не субдукционением океанической коры, а рифтогенезом в зоне Центрально-Камчатского грабена, сопровождавшимся на бортовых частях последнего вулканизмом за счет более глубинного и менее истощенного, чем обычно, мантийного очага. Не исключено, что именно это и послужило причиной сенсационной продуктивности продуктов ТТИ-50 на алмазы.

### Везикулярность

Важным, но практически неизученным свойством эфузивных вулканических пород является их везикулярность – насыщенность пустотами разных форм и размеров, образовавшимися в результате дегазации застывающих лав. При этом вариации формы и размеров таких пустот определяются динамикой лав и скоростью их остывания. Понятно также, что везикулярность свойственна не только современным эфузивам, но и их палеоаналогам – миндалекаменным базальтоидам.

В исследуемых образцах везикулярность анализировалась в шлифах большого размера (рис. 5). При этом суммарная пустотность определялась методом случайных секущих, а в качестве размера отдельной пустоты принималась полусумма ее максимального и минимального измерений. Форма везикул оценивалась по коэффициенту удлинения – отношению максимального измерения к минимальному. Распределения пустот по размерам и коэффициентам удлинения строились на основе расчета числа разрядов по формуле Стёрджеса, оценка степени нормальности распределений осуществлялась по *t*-критерию Стьюдента.

Проведенные исследования показали, что в исследованных образцах содержание пустот варьирует от 2.5 до 83%, а их размеры изменяются в пределах 15–7850 мкм. По форме пустоты изменяются от изометрических до очень сильно вытянутых, на что указывает разброс коэффициента удлинения от 1 до 28. На основании полученных данных, эфузивы ТТИ-50 были подразделены на пять разновидностей (Мяндин, Тараков, 2017): 1) плотные (пустотность < 5%), 2) везикулярные (5–10%), 3) пузыристо-везикулярные (10–30%), 4) везикулярно-пузыристые (30–55%) и 5) пузыристо-шлаковидные (> 55%).



**Рис. 5.** Фотографии шлифов везикулярных разновидностей лав ТТИ-50: а – плотные; б – везикулярные; в – пузыристо-везикулярные; д, е – везикулярно-пузыристые; ж, з – пузыристо-шлаковидные

Установлено (табл. 1), что в ряду от плотных эфузивов к везикулярно-пузыристым последовательно увеличиваются размеры пустот и коэффициенты их удлинения. То есть в указанном направлении происходит более или менее скоррелированный рост количества пустот, их средних размеров и формы. С ростом доли вытянутых пустот в исследованных образцах появляется и усиливается директивность – субсогласная ориентация пустот своими удлинениями. При переходе от везикулярно-пузыристых лав к пузыристо-шлаковидным наблюдается относительно небольшой прирост среднего размера пустот, но разброс везикул по размерам сильно увеличивается. Помимо этого, в шлаковидных эфузивах скачкообразно уменьшается коэффици-

ент удлинения пустот, т.е. везикулы в них становятся более изометричными. Отличия шлаков от других типов лав по свойствам везикулярности обусловлены, скорее всего, влиянием аэродинамического фактора.

Распределение образцов по разновидностям везикулярности в изученной выборке очень похоже на гауссово. Это свидетельствует о том, что на уровне разновидностей пузыристость обусловлена либо одной статистически действующей причиной, либо множеством причин, статистически суммируемых как одна. Иначе говоря, влияния таких факторов лавообразования, как вязкость, плотность, температура, газонасыщенность, скорость движения на рассматриваемом уровне были сопряженными.

**Таблица 1.** Статистические данные о везикулярных разновидностях эфузивов

Разновидности эфузивов	Частота встречаемости, %	Везикулярность, %			Размер пор, мкм			Коэффициент удлинения		
		$\bar{X}$	$S_x$	$V_x, \%$	$\bar{X}$	$S_x$	$V_x, \%$	$\bar{X}$	$S_x$	$V_x, \%$
Плотная	4.4	3.6	1.3	37.7	184	211	114.7	2.2	0.9	40.9
Везикулярная	13.3	8.5	1.3	15.3	481	614	127.7	2.5	1.2	48.0
Пузыристо-везикулярная	53.4	18.3	5.6	30.3	661	830	125.6	2.4	2.5	104.2
Везикулярно-пузыристая	15.6	39.4	7.8	19.8	1034	603	58.3	3.4	2.9	85.3
Пузыристо-шлаковидная	13.3	62.3	5.9	9.5	1104	946	85.7	1.9	0.8	42.1

Примечание.  $\bar{X}$  – среднее,  $S_x$  – среднее квадратичное отклонение (СКО)

Анализ распределения везикул по размерам и степени удлинения в наиболее пузыристых образцах вулканитов также осуществлялся с использованием числа разрядов, вычисленного по формуле Стёрджа. Оценки степени отклонения от логнормальности производились по кумулятивным кривым частот встречаемости. Полученные данные отображены в табл. 2 и на рис. 6. Валовая везикулярность в наиболее пузыристых эфузивах варьируется от 77 до 83%, т.е. все они фактически представляют собой вулканические пемзы и шлаки. Распределение пустот в таких породах логнормальное, при этом визуально на более крупно-пустотном фоне наблюдаются шлироподобные участки с гораздо более мелкими везикулами. Иногда крупно- и мелкопустотные участки как бы

чередуются. Коэффициент удлинения пустот во всех породах, кроме шлаковидных, колеблется от 1 до 6, причем почти 90% значений приходится на интервал 1–3. Наиболее сильная корреляция между размерами и удлинением везикул в этом ряду эфузивов выявляется в бомбах трахиандезибазальтов.

Самым широким разбросом везикул по размеру и степени удлинения отличаются пузыристо-шлаковидные трахиандезибазальты, которым свойственны в среднем наибольшие размеры пустот, но при более низком среднем значении коэффициента их удлинения. В этих породах установлена относительно слабая прямая корреляция между параметрами везикулярности при значительном отклонении распределения пустот по размерам от логнормальности.

Таблица 2. Статистическая оценка везикулярности пузыристо-шлаковидных разновидностей эфузивов

Суммарная везикулярность, %	Размеры везикул, мкм		Коэффициент удлинения
<i>Трахиандезибазальты</i>			
81.9	Число определений	509	Число определений
	Размах колебаний	25–1655	Размах колебаний
	Среднее	352	Среднее
	СКО	266	СКО
	Коэффициент вариации, %	75.6	Коэффициент вариации, %
<i>Трахивазальты</i>			
77.2	Число определений	605	Число определений
	Размах колебаний	27–1729	Размах колебаний
	Среднее	421	Среднее
	СКО	357	СКО
	Коэффициент вариации, %	94.2	Коэффициент вариации, %
<i>Шлаковидные трахиандезибазальты</i>			
83.0	Число определений	97	Число определений
	Размах колебаний	22–6490	Размах колебаний
	Среднее	997	Среднее
	СКО	939	СКО
	Коэффициент вариации, %	84.8	Коэффициент вариации, %
<i>Бомба трахиандезибазальта</i>			
77.8	Число определений	832	Число определений
	Размах колебаний	18–1272	Размах колебаний
	Среднее	327	Среднее
	СКО	227	СКО
	Коэффициент вариации, %	69.4	Коэффициент вариации, %

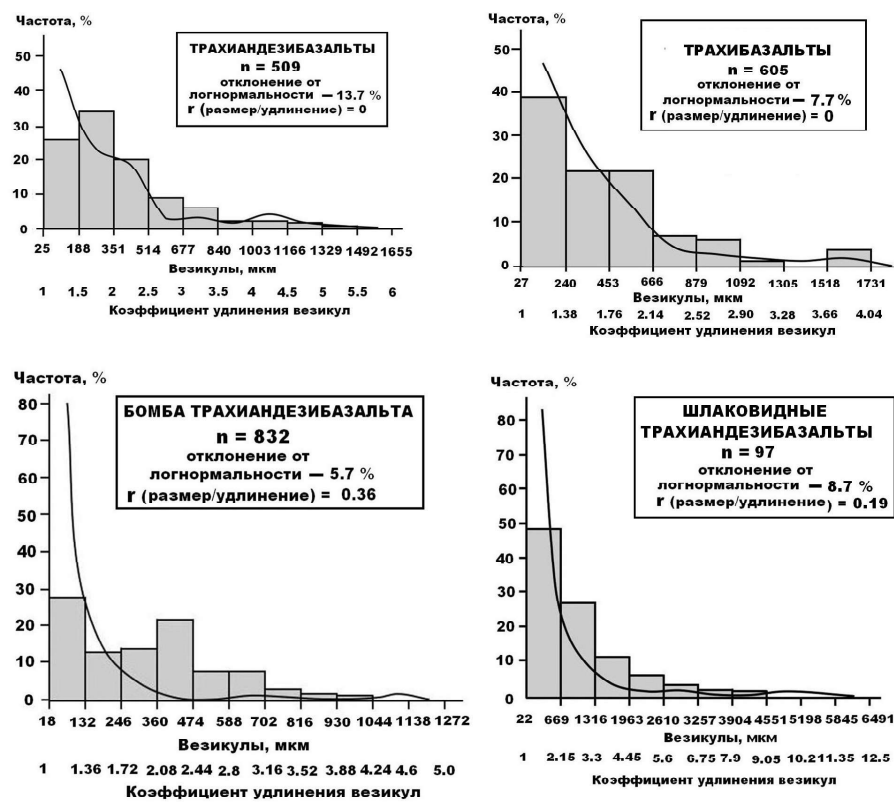


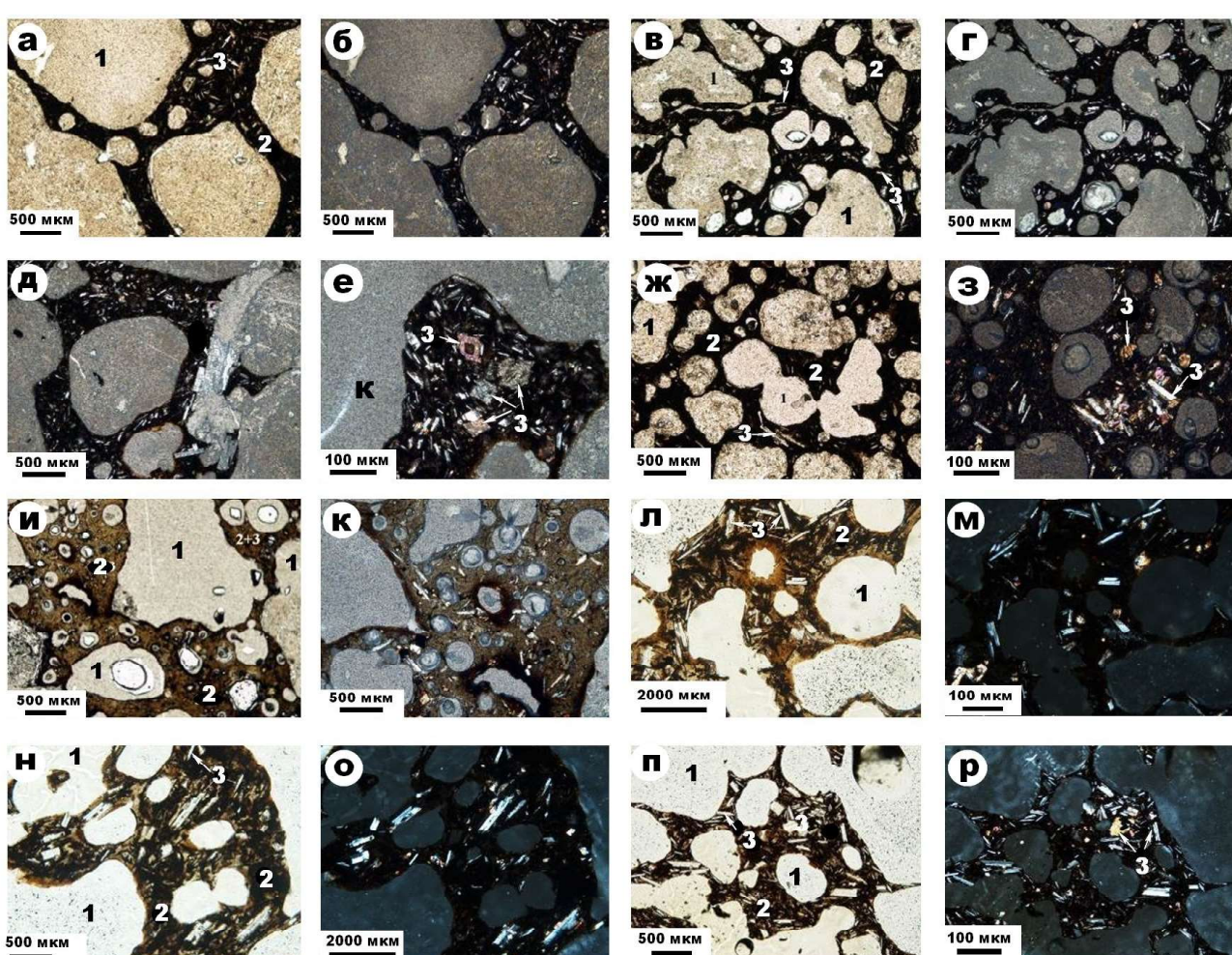
Рис. 6. Распределения везикул по размерам (гистограммы) и по значениям коэффициента удлинения (кривые) в наиболее пузыристо-шлаковидных эфузивах ТТИ-50

## Внутреннее строение эфузивов и свойства стеклофазы

Исследуемые эфузивы характеризуются витрофировой структурой и относительно низкой степенью раскристаллизации стеклофазы, но при этом с признаками кристаллизационной дифференциации, выраженной ассоциацией минералов-микролитов, широко варьирующих по размеру индивидов. Все это может свидетельствовать об относительно невысокой скорости подъема лав к земной поверхности.

Изученные образцы сложены преимущественно вулканическим стеклом, в массе которого хаотически распределены большей частью мелкие включения породообразую-

щих минералов (рис. 7). Последние, по данным рентгеновской дифрактометрии, представлены оливином, энстатитом, эгирином, амфиболами (актинолит, роговая обманка), плагиоклазами, флогопитом, шпинелидами. Кроме того, в некоторых образцах диагностированы сульфиды группы халькозина, самородно-металлические фазы, гипс, гематит и гётит. Общее содержание микролитов мы оценивали по шлифам методом случайных секущих. Максимальное их содержание (17.5%) установлено в трахиандезибазальтах, в трахизабазальтах содержание микролитов сокращается до 13.8%, в бомбе трахиандезибазальта составляет 12.5%, а в шлаковидном трахиандезибазальте не превышает и 10%.



**Рис. 7.** Микростроение эфузивов ТТИ-50: а–е – трахибазальты; ж, з – бомба трахиандезибазальта; и, к – шлаковидный андезибазальт; л–р – трахиандезибазальты. На изображениях: 1 – пустоты, 2 – вулканическое стекло; 3 – микролиты оливина, пироксенов, плагиоклазов. Оптико-микроскопические изображения при николах = (а, в, ж, и, л, н, п) и Х (б, г, д, е, з, к, м, о, р)

Вулканическое стекло в исследованных образцах трахиандезибазальтов и трахизальтов характеризуется субгигантопилитовой структурой, обусловленной включениями микроразмерных индивидов плагиоклазов, оливина и пироксенов. Для плагиоклазов выявлены две генерации:

1) ранняя, возможно интрателлурическая, представленная относительно крупными лейстами размером  $(250\text{--}1500) \times (70\text{--}500)$  мкм;

2) поздняя, в виде игольчато-призматических микровыделений с размером индивидов  $(50\text{--}125) \times (15\text{--}45)$  мкм, образовавшаяся в результате раскристаллизации первичного стекла. Оливин в стеклофазе встречается в виде отдельных субизометрических, частью футляро-скелетных зерен размером 85–350 мкм. Изредка отмечаются призматические индивиды пироксенов.

В бомбе трахиандезибазальта плагиоклаз тоже представлен двумя генерациями – ранними единичными порфировыми вкрашенниками размером  $(80\text{--}450) \times (5\text{--}35)$  мкм и множеством поздних игольчатых индивидов размером  $(20\text{--}70) \times (3\text{--}10)$  мкм. Оливин здесь образует несколько удлиненные зерна размером  $(25\text{--}50) \times (10\text{--}25)$  мкм.

В шлаковидном трахиандезибазальте микролитов сравнительно немного, по составу среди них оптически диагностируется только плагиоклазы с размером индивидов  $(20\text{--}50) \times (2\text{--}5)$  мкм.

Таким образом, в ряду снижения степени раскристаллизованности исследуемых эфузивов в последовательности трахиандезибазальты → трахизальты → бомба трахиандезибазальта → шлаковидные трахиандезибазальты происходит последовательное сокращение почти в два раза содержания и почти на порядок размера микролитов породообразующих минералов, что, очевидно, и отражает тренд динамики извержения.

Стеклофаза в эфузивах исследовалась методами оптической микроскопии, аналитической СЭМ и мёссбауэрской спектроскопии. Согласно полученным данным (табл. 3), наиболее гомогенное низкожелезистое вулканическое стекло по химическому составу сильно отклоняется от валового состава эфузивов. В случае трахиандезиба-

зальтов оно демонстрирует повышение щелочности при сохранении высокой калиевости, а в случае трахизальтов общая щелочность вулканического стекла в сравнении с валовым составом сокращается (рис. 2), но калиевость при этом сохраняется на достаточно высоком уровне (табл. 3).

На некоторых участках трахиандезибазальтов выявляется высокожелезистое вулканическое стекло, особенно характерное для наименее раскристаллизованных пород – бомбы и шлаковидного трахиандезибазальтов. Расчеты показали, что в такой стеклофазе  $\text{Fe}_2\text{O}_3$  и  $\text{SiO}_2$  являются компонентами-антагонистами, коэффициент корреляции между которыми достигает –0.97. По содержанию  $\text{SiO}_2$  такое стекло существенно отклоняется как от эфузивов в целом, так и от низкожелезистых стеклофаз в них, но высокое содержание щелочей, включая калий, сохраняется (рис. 3).

На участках ожелезнения в трахиандезибазальтах и трахизальтах стеклофаза обнаруживает признаки последовательного образования структур распада. Сначала в кажущемся фазово-гомогенном матриксе вулканического стекла появляется наноразмерная неоднородность распределения железа в виде сотоподобной структуры (рис. 8, а). Затем образуются облакоподобные железистые сгущения и чуть позже – дендритообразные выделения магнетита (рис. 8, б, в) – полноценные субиндивиды распада твердых растворов железистого вещества в вулканическом стекле. Эти субиндивиды фактически являются наиболее поздней вулканогенной генерацией магнетита, ранее установленной в пеплах Ключевского вулкана (Силаев и др., 2022) и в эксплозивных сферулах на алмазносных территориях Среднего Урала (Силаев и др., 2009). В некоторых образцах исследуемых эфузивов фазовая негомогенность распавшейся первично высокожелезистой стеклофазы достигает наибольшего масштаба, затрагивая всю массу стекла. В результате образуется полосчатое или мозаичное чередование примерно равновеликих участков, сложенных низкожелезистой стеклофазой и микроагрегациями кристаллозернистых шпинелидов (рис. 8, г).

Обобщение полученных данных приводит к выводу о том, что в исследуемых эфузивах реализуется два варианта кристаллизационной дифференциации. Первый вариант отражает первичную конкуренцию интрапеллурических минералов и расплава (рис. 9, а), возникшую в процессе извержения. А второй явно обусловлен более поздней раскристаллизацией стеклофазы (рис. 9, б).

Кристаллохимические особенности вхождения примеси железа в вулканическую стеклофазу исследовались методом мёссбауэрской спектроскопии (Лютоев и др., 2017). Соответствующие спектры были зарегистрирован в диапазоне скоростей  $-11 - +11$  мм/сек при комнатной температуре препарата. Изомерный сдвиг определялся относительно  $\alpha\text{-Fe}$ .

**Таблица 3.** Химический состав стеклофазы в эфузивах ТТИ-50, мас. %

Объекты	№ п/п	SiO <sub>2</sub>	TiO <sub>2</sub>	Al <sub>2</sub> O <sub>3</sub>	Fe <sub>2</sub> O <sub>3</sub>	MnO	MgO	CaO	Na <sub>2</sub> O	K <sub>2</sub> O	V <sub>2</sub> O <sub>5</sub>	P <sub>2</sub> O <sub>5</sub>
1	Размах колебаний	53.10–56.24	2.03–2.24	14.38–14.54	7.98–9.17	Не обн.	4.03–5.95	2.93–8.29	5.12–7.14	3.16–5.10	Не обн.	Не обн.
	Среднее	54.40	2.16	14.44	8.49		4.83	5.00	6.30	4.37		
	СКО	1.64	0.11	0.09	0.61		1.00	2.88	1.05	1.06		
2	Размах колебаний	37.60–44.09	1.70–3.27	8.93–12.09	24.23–33.98	«	3.59–4.97	4.27–5.15	3.20–6.18	2.41–3.86	«	«
	Среднее	40.63	2.25	10.77	28.61		4.25	4.77	4.95	3.24		
	СКОон	3.27	0.89	1.64	4.95		0.69	0.45	1.56	0.75		
3	Размах колебаний	40.61–62.14	0–3.50	5.77–19.12	0.34–28.26	Не обн.	2.77–22.98	1.06–9.29	0–1.15	0–4.58	«	«
	Среднее	53.80	2.41	14.88	11.83		7.05	6.45	0.47	2.46		
	СКО	7.14	1.24	4.81	9.14		7.84	3.12	0.44	1.68		
4	Размах колебаний	52.35–52.69	2.64–3.93	11.97–13.87	18.67–18.76	«	3.12–4.10	4.15–5.04	0–1.23	2.65–3.87	«	0–0.82
	Среднее	52.52	3.29	12.92	18.72		3.61	4.60	0.62	3.26		
	СКО	0.24	0.91	1.34	0.06		0.69	0.63	0.87	0.86		
5	Размах колебаний	17.68	1.94–4.78	8.02–13.50	29.98–59.64	0–0.64	3.37–6.58	0.84–3.13	Not det.	0.80–3.75	0–0.55	Не обн.
	Среднее	32.67	3.24	10.89	43.71		0.32	4.65	1.96	2.54		
	СКО	10.81	1.05	2.08	12.49		0.30	1.06	0.88	1.06		
6	Размах колебаний	43.03–55.57	1.12–4.82	10.64–17.46	10.66–31.36	Не обн.	3.01–15.50	3.33–8.97	0–0.74	1.97–4.67	Не обн.	«
	Среднее	51.46	2.72	15.21	15.44		4.73	6.83	0.12	3.49		
	СКО	3.88	0.95	2.66	6.54		4.06	1.79	0.26	0.99		

*Примечание.* 1, 2 – соответственно низко- и высокожелезистая разновидности гомогенной стеклофазы в трахиандезибазальтах; 3 – гомогенная стеклофаза в трахибазальтах; 4, 5 – стеклофаза с соответственно облако-подобными выделениями железистого вещества и дендритовидными субиндивидами магнетита в трахиандезибазальтах; 6 – стеклофаза с микровключениями шпинелидов в трахибазальтах

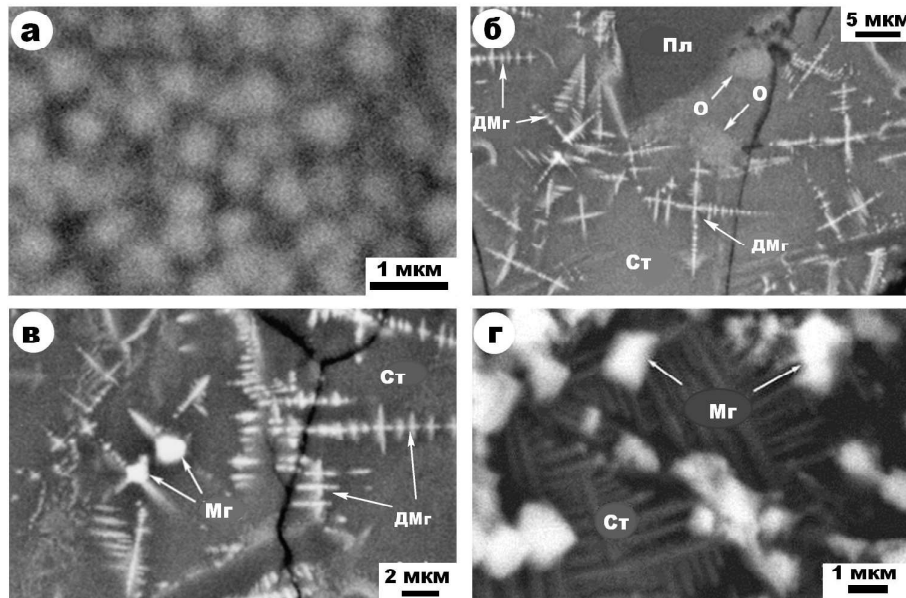
Время накопления спектра составило 120 часов. При обработке спектров использовалось стандартное программное обеспечение спектрометра «Univem». Полученный спектр представляет собой асимметричный дублет с квадрупольным расщеплением  $QS = 3$  мм/сек, характерным для ионов  $\text{Fe}^{2+}$ . Увеличение интенсивности этого дублета в области нулевых скоростей обусловлено наложением дублетного сигнала от ионов  $\text{Fe}^{3+}$  с малым значением  $QS$ . Удовлетворительная

аппроксимация такого спектра достигается для трехкомпонентной модели при гауссовой форме линий. Типичный ЯГР-спектр приведен на рис. 10, параметры дублетов представлены в табл. 4.

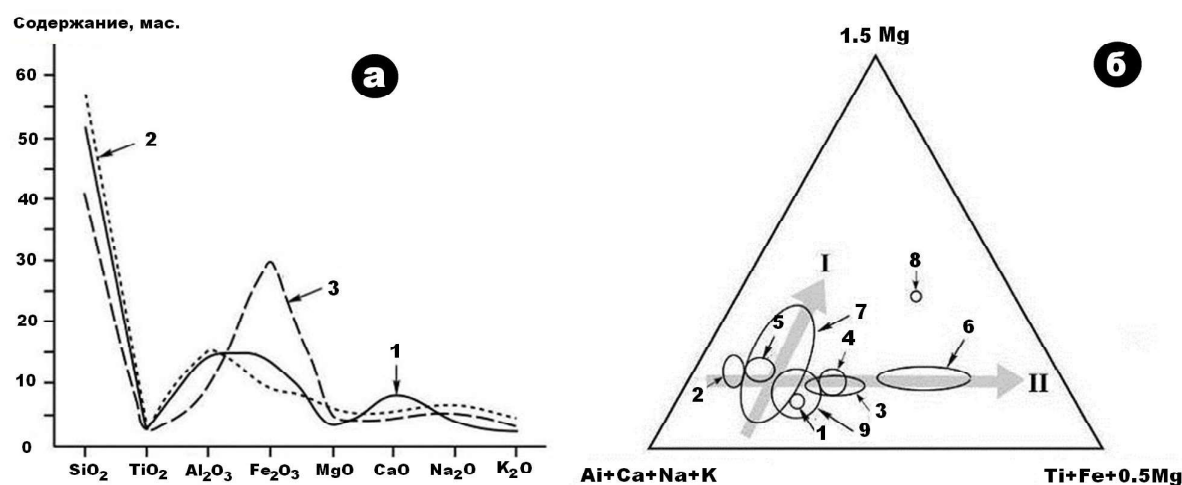
Согласно полученным данным, основной вклад в мёссбауэрский спектр нераспавшейся стеклофазы вносят два дублета с большими значениями квадрупольного расщепления, отвечающие ионам  $\text{Fe}^{2+}$ . На основной из этих дублетов –  $\text{Fe}^{2+}(1)$  –

приходится 60% общего железа. Судя по большой ширине линии, квадрупольному расщеплению – QS и изомерному сдвигу – IS (Dyar, 1985), это железо локализуется в стеклофазе. На основании величины

изомерного сдвига, определенного с хорошей точностью, соответствующие ионы железа можно приписать тетраэдрическим структурным позициям.



**Рис. 8.** Варианты нано-микрометровой неоднородности железистого вулканического стекла в эфузивах ТТИ-50: а – структура сотовой неоднородности, возникающей на самой ранней стадии распада высокожелезистой стеклофазы; б, в – появление в железистой стеклофазе (Ст) фазовой неоднородности в форме облакоподобных железистых сгущений (О), дендритов (ДМг) и первых кристалло-зернистых выделений магнетита ( $Mg_2$ ); г – гетерофазная микроструктура полностью распавшейся первично высокожелезистой стеклофазы с микроагрегациями кристалло-зернистого магнетита;. СЭМ-изображения в режиме упруго-отраженных электронов



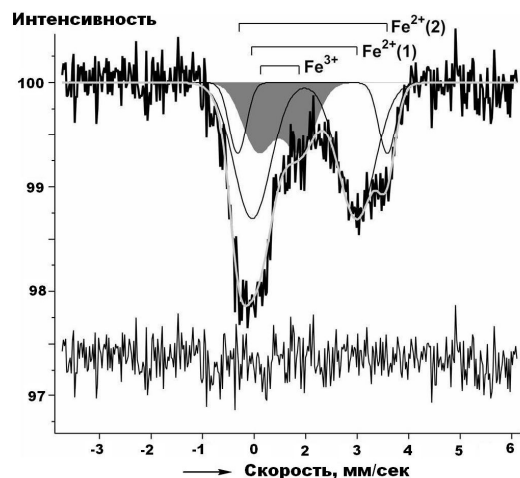
**Рис. 9.** Варианты фазовой неоднородности эфузивов ТТИ-50. а – первый вариант: 1 – валовый состав (стекло + микролиты), 2, 3 – соответственно низко- и высокожелезистые разновидности стекла. б – второй вариант – результат раскристаллизации и распада стеклофазы: 1 – валовый состав эфузивов; 2, 3 – соответственно низко- и высокожелезистые разновидности стеклофазы, 4, 5 – соответственно стеклофаза с сотовой структурой и с облакоподобными сгущениями железистого вещества и дендритами магнетита; б – аномально железистый состав стеклофазы в трахиандезибазальте; 7, 8 – соответственно низко- и высокожелезистые составы стеклофазы в бомбе трахиандезиазальта); 9 – стеклофаза в шлако-видном андезибазальте. Тренды состава вулканических стёкол: I – магнезиальный, II – железистый

Второй дублет  $\text{Fe}^{2+}$ (2) отвечает за 15% общего железа. Он характеризуется существенно большими значениями изомерного сдвига и квадрупольного расщепления, характерными для ионов железа в октаэдрических позициях. Малая ширина компонент этого дублета (0.39 мм/сек) указывает на локализацию соответствующих ионов  $\text{Fe}^{2+}$  не в стекле, а в кристаллической фазе. Судя по значениям параметров, дублет  $\text{Fe}^{2+}$ (2) отвечает оливину. Аналогичные значения параметров получены для природных оливинов различного происхождения (Dyar et al., 2006), включая оливин из метеоритов (Лютюев и др., 2013; Grandjean et al., 1998) и синтетические аналоги (Dyar et al., 2009).

**Таблица 4.** Параметры ЯГР-спектра ионов железа в стеклофазе трахиандезибазальтов

Параметры	$\text{Fe}^{2+}$ (1)	$\text{Fe}^{2+}$ (2)	$\text{Fe}^{3+}$
Изомерный сдвиг IS, мм/сек	0.98 <sub>5</sub>	1.13 <sub>2</sub>	0.5 <sub>1</sub>
Квадрупольное расщепление QS, мм/сек	2.02 <sub>8</sub>	2.90 <sub>5</sub>	0.8 <sub>2</sub>
Магнитное поле, Н <sub>зф</sub>	0.84 <sub>9</sub>	0.39 <sub>5</sub>	0.71 <sub>8</sub>
Площадь S, %	60 <sub>2</sub>	15 <sub>3</sub>	25 <sub>4</sub>

Дополнительно к выше упомянутым дублетам в полученном мессбауэровском спектре проявился дублет с малыми значениями изомерного сдвига и квадрупольного расщепления, что характерно для октаэдрических ионов  $\text{Fe}^{3+}$  в силикатном стекле (Dyar, 1985).



**Рис. 10.** Типичный ЯГР-спектр ионов железа в трахиандезибазальтах ТТИ-50

На эту форму приходится около 25% общего железа. Очевидно, что именно присутствующие в стеклофазе ионы  $\text{Fe}^{2+}$  и  $\text{Fe}^{3+}$  и составляют потенциал образования магнетитовой фазы распада. Проведенные спектроскопические исследования показали, что в исследуемых эфузивах на первоначальную стеклофазу приходится около 85% общего содержания железа. Остальная часть зарегистрированного железа относится к микролитам оливин и, вероятно, пироксенов. Валовое отношение  $\text{Fe}^{3+}/\Sigma\text{Fe}$ , отражающее степень окисления железа, составило в изученном образце 0.25, а в его стеклофазе приближается к 0.3, что превышает значения, типичные для базальтов COX, больше корреспондируясь с условиями наземного вулканизма в условиях островных дуг или континентальных рифтов. Количество оценку соответствующей величины фугитивности кислорода  $f\text{O}_2$  можно произвести на основе диаграммы  $\Delta\text{FMQ} = \lg[f\text{O}_2 - \text{Fe}^{3+}/\Sigma\text{Fe}]$ , приведенной в (Nikolaev et al., 1996). Согласно этой диаграмме, величине  $\text{Fe}^{3+}/\Sigma\text{Fe} = 0.25-0.30$  отвечает значение  $\lg[f\text{O}_2]$  не ниже 2.0.

## Минералы-микролиты

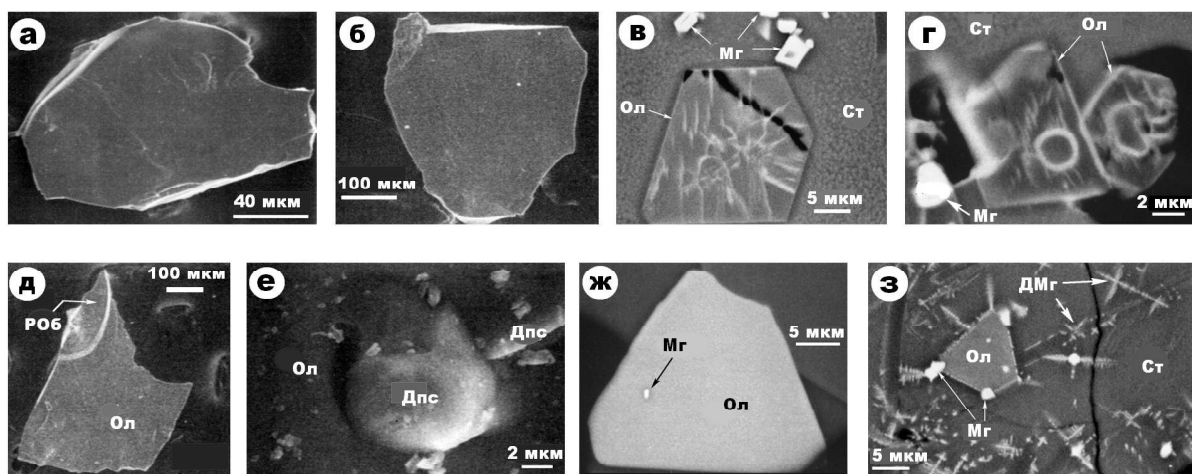
В качестве минералов-микролитов в исследованных образцах эфузивов ТТИ-50 методами рентгеноовской дифрактометрии и аналитической СЭМ выявлены оливин, плагиоклазы, амфиболы, магнетит, сульфиды, гипс и самородные металлические фазы.

**Оливин** обнаружен во всех исследованных вулканитах. Представлен большей частью изометричными зернами с тенденцией к идиоморфизму (рис. 11, а, б). Некоторые зерна характеризуются микрозональностью, обусловленной линзо-прожилковидными и даже кольцевыми зонами сильного обогащения железом (рис. 11, в, г).

По составу (табл. 5) этот минерал во всех породах отвечает магнезиальному гортонолиту, варьирующемуся в пределах Fo<sub>56-84</sub> с полной эмпирической формулой для трахиандезибазальтов и андезибазальтов –  $(\text{Mg}_{0.77-1.41}\text{Fe}_{0.45-1.07}\text{Mn}_{0-0.02}\text{Ca}_{0-0.08}\text{Al}_{0-0.05})_{1.96-2.06} [\text{SiO}_4]$ ,

а для бомбы трахиандезибазальта – ( $Mg_{0.88-1.56}Fe_{0.59-0.95}Mn_{0.02}Ca_{0.03}Al_{0-0.11})_{1.99-2.06}[SiO_4]$ ). Это подтверждается и параметрами элементарной ячейки, расчетанными по рентгеноструктурными данным (нм):  $a_0 = 0.477 \pm 0.0003$ ;  $b_0 = 1.026 \pm 0.003$ ;  $c_0 = 0.595 \pm 0.003$ . Важнейшими примесями в исследованном оливине выступают Ti, Al, Mn, Ca. Как правило, эти примеси обратно коррелируются с магнезиальностью оливина. Наибольший интерес в этой связи представляет собой кальций,

обнаруживающий очень сильную обратную связь с содержанием форстеритового минала ( $r = -0.65...-0.80$ ). Такая корреляция свидетельствует о примеси в оливине растворенного монтичеллита, что в свою очередь указывает на повышенные давления (Finnerty, Boyd, 1978; Churikova et al., 2015). А последнее, очевидно, говорит о кристаллизации оливина на значительной глубине, т.е. об его интрателлурической природе.



**Рис. 11.** Кристалло-зернистые индивиды оливина (Ол) в стеклофазе (Ст): а, б – однородные по составу; в, г – микронеоднородные по составу; д–з – с включениями амфиболя (РОб), диопсида (Дпс), магнетита (Мг) и в ассоциации с магнетитовыми дендритами распада (ДМг). СЭМ-изображения в режимах упруго-отраженных (а–д, ж, з) и вторичных (е) электронов

**Таблица 5.** Химический состав (мас. %) оливина в эфузивах (1) и бомбе трахиандезибазальта (2)

Породы	Статистики	SiO <sub>2</sub>	TiO <sub>2</sub>	Al <sub>2</sub> O <sub>3</sub>	Fe <sub>2</sub> O <sub>3</sub>	MnO	MgO	CaO	K <sub>2</sub> O
1	Размах колебаний	32.55–38.08	Не обн.	0–2.83	0–44.30	0–0.90	16.82–39.54	0–1.26	Не обн.
	Среднее	36.52		0.85	27.72	0.45	32.92	0.26	
	СКО	1.38		0.80	9.04	0.24	5.29	0.29	
2	Размах колебаний	32.59–36.72	0–2.7	0–3.21	28.42–41.48	0–0.79	19.04–33.43	0–1.06	0–0.67
	Среднее	35.91	0.35	1.24	29.64	0.57	31.50	0.43	0.06
	СКО	1.95	0.92	1.06	7.94	0.25	6.83	0.33	0.18

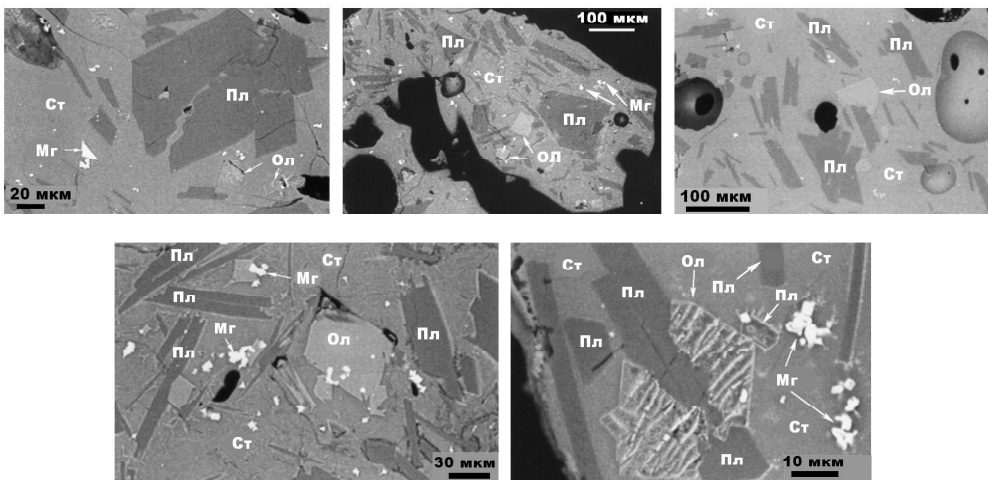
В срастаниях с оливином установлены амфибол, клинопироксены и шпинелиды (рис. 11, д–з). Амфиболов соответствуют роговой обманке с составом (мас. %) SiO<sub>2</sub> 51.60–55.10, TiO<sub>2</sub> 0–2.27, Al<sub>2</sub>O<sub>3</sub> 16.34–28.44, Fe<sub>2</sub>O<sub>3</sub> 1.09–9.16, MgO 0–2.62, CaO 7.79–11.11, Na<sub>2</sub>O 3.03–6.22, K<sub>2</sub>O 0.96–4.15. Пироксены представлены более или менее стехиометрическим диопсидом и магнезиальным авгитом. Шпинелиды являются поликомпонентными и представлены твердым растворо-

ром магноферрита, ульвита и купрошинели в магнетите.

**Плагиоклазы** слагают большинство микролитов. Это лейстовидные, широко варьирующие по размеру от 0.2–0.3 до 1.5 мм индивиды, хаотически расположенные по стеклофазному матриксу (рис. 12). Ксеноминеральные включения для них нехарактерны, в срастаниях с оливином плагиоклазы всегда выглядят более поздними.

По составу плагиоклазы варьируются от битовнита до лабрадора, характеризуясь практически постоянной минальной примесью ортоклаза (табл. 6): трахиандезибазальты и трахибазальты –  $An_{87 \pm 9} Ab_{9 \pm 10} Ort_{4 \pm 2}$ ; бомба трахиандезибазальта –  $An_{73 \pm 8} Ab_{21 \pm 11} Ort_{18 \pm 10}$ . Между миналами в плагиоклазах выявляются разные системы корреляций. В эфузивах между

анортитом, с одной стороны, и альбитом, и ортоклазом, с другой стороны, реализуется сильная обратная корреляция ( $r = -0.48 \dots -0.99$ ), а между альбитом и ортоклазом, напротив, имеется прямая связь ( $r = 0.33$ ). В бомбе трахиандезибазальта выявляется обратная корреляция между анонтитом и ортоклазом ( $r = -0.60$ ), а также между альбитом и ортоклазом ( $r = -0.51$ ).



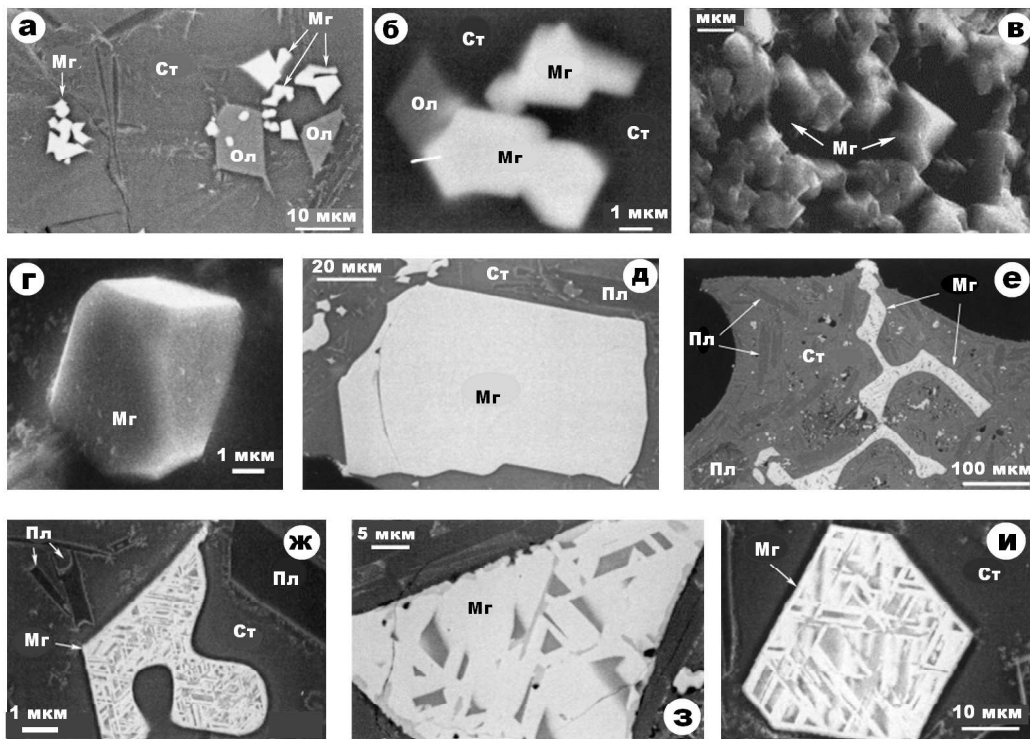
**Рис. 12.** Микролиты плагиоклаза (Пл), оливина (Ол) и магнетита (Мг) в матриксе вулканического стекла (Ст). СЭМ-изображения в режиме упруго-отраженных электронов

**Таблица 6.** Химический состава (мас. %) плагиоклазов

Породы	Статистики	SiO <sub>2</sub>	TiO <sub>2</sub>	Al <sub>2</sub> O <sub>3</sub>	Fe <sub>2</sub> O <sub>3</sub>	CaO	Na <sub>2</sub> O	K <sub>2</sub> O
Эфузивы	Среднее	53.31	Не обн.	31.12	1.32	12.81	0.81	0.53
	СКО	1.42		0.50	0.23	0.86	0.99	0.15
Бомба трахи-андези-базальта	Среднее	53.97	0.64	27.16	4.35	10.99	1.35	1.26
	СКО	1.79	1.13	6.19	4.93	1.80	0.63	1.09

**Шпинелиды** наблюдаются в стеклофазе в виде дендритовидных субиндивидов распада, вкрапленности кристаллозернистых форм и их геморовых сростков (рис. 13). Встречаются в срастании с оливином и плагиоклазами в форме субмикронных включений в зернах оливина. Иногда наблюдаются в виде нарастаний на стенки везикул. Таким образом, получается, что именно шпинелиды трассируют практически всю историю образования эфузивов. Для многих их индивидов характерна сильная тенденция к идиоморфизму, габитус таких кристаллов большей частью октаэдрический, реже кубический или кубоктадрический. Размер кристаллов колеблется в пределах 2–100 мкм, составляя в среднем около 30 мкм. Визуально разрешающиеся субиндивиды распада большей частью имеют удлиненную форму (коэффициент удлинения  $3.8 \pm 2.9$ ), варьируясь по размеру от  $500 \times 300$  нм до  $10 \times 2$  мкм.

По составу шпинелиды изменяются в весьма широких пределах. Наиболее поздняя генерация представлена субиндивидами распада высокожелезистой стеклофазы – магнетитом с примесью ульвита. А вот более ранняя генерация кристалло-зернистых форм, трактуемая нами как интрателлурическая, является смесью 13 миналов (в последовательности снижения встречаемости): магнетитового, магензиферритового, ульвитового, купрошпинелевого, герцинитового, якоситового, галакситового, шпинелевого, хромитового, магнохромитового, треворитового, ганитового,  $NiAl_2O_4$  (табл. 7). В этой связи такие минералы могут быть подразделены на 17 разновидностей, определяемых по относительному содержанию преобладающих (более 10 мол. %) миналов. Распределение этих разновидностей по исследуемым толбачинским эфузивам довольно упорядоченное.



**Рис. 13.** Кристалло-зернистые формы магнетита в трахиандезибазальтах (*а–с*), трахивазальтах (*е–г*) и бомбе трахиандезибазальта (*и–л*): *а, б* – микроагрегации зерен шпинелидов (*Мг*) в срастании с оливином (*Ол*) в стеклофазе; *в, г* – идиоморфные кристаллы; *д* – ксеноморфные выделения; *е–и* – зерна магнетита с пластинчатыми структурами распада (субиндивиды распада – шпинелит). СЭМ-изображения в режиме упруго-отраженных электронов SEM images, backscattered electron

**Трахиандезибазальты** характеризуются фазово-гомогенными зернами ульвитовой  $(\text{Fe}_{0.98}\text{Mn}_{0.02})(\text{Fe}_{1.61}\text{Al}_{0.06}\text{Ti}_{0.33})_2\text{O}_4$ , магнезиоферрито-ульвитовой  $(\text{Mg}_{0.14–0.2}\text{Fe}_{0.79–0.84}\text{Mn}_{0.01–0.02})(\text{Fe}_{1.49–1.54}\text{Al}_{0.15–0.18}\text{Ti}_{0.28–0.3})_2\text{O}_4$ , герцинито-ульвитовой  $(\text{Mg}_{0.08}\text{Fe}_{0.9}\text{Mn}_{0.02})(\text{Fe}_{1.39}\text{Al}_{0.34}\text{Ti}_{0.27})_2\text{O}_4$ , магнезиоферритовой  $(\text{Mg}_{0.15}\text{Fe}_{6.78}\text{Cu}_{0.05}\text{Mn}_{0.02})(\text{Fe}_{1.96}\text{Al}_{0.04})_2\text{O}_4$  разновидностей магнетита; магнетито-ульвитовой  $(\text{Mg}_{0.29–0.35}\text{Fe}_{0.64–0.69}\text{Mn}_{0.01–0.02})(\text{Fe}_{1.38–1.39}\text{Al}_{0.24–0.28}\text{Cr}_{0.06–0.09}\text{Ti}_{0.27–0.28})_2\text{O}_4$ , купрошпинеле-магнетитовой  $(\text{Mg}_{0.39–0.52}\text{Fe}_{0.31–0.33}\text{Cu}_{0.16–0.26}\text{Mn}_{0.01–0.02})(\text{Fe}_{1.89–1.95}\text{Al}_{0.03–0.04}\text{Ti}_{0.02–0.07})_2\text{O}_4$ , магнетито-купрошпинелевой  $(\text{Mg}_{0.51–0.59}\text{Fe}_{0.13–0.19}\text{Cu}_{0.25–0.28}\text{Mn}_{0.01–0.03})(\text{Fe}_{1.94–1.99}\text{Al}_{0.01–0.05}\text{Ti}_{0.01–0.02})_2\text{O}_4$  разновидностей магнезиоферрита; магнетито-магнезиоферритовой  $(\text{Mg}_{0.31}\text{Fe}_{0.67}\text{Mn}_{0.02})(\text{Fe}_{1.47}\text{Al}_{0.19}\text{Ti}_{0.34})_2\text{O}_4$  разновидностью ульвита; магнезиоферрито-магнетитовой  $(\text{Mg}_{0.23}\text{Fe}_{0.39}\text{Cu}_{0.36}\text{Mn}_{0.02})_8(\text{Fe}_{1.91}\text{Al}_{0.06}\text{Ti}_{0.03})_2\text{O}_4$  разновидностью купрошпинели.

В трахивазальтах установлены ульвитовая  $(\text{Fe}_{0.69–0.98}\text{Mg}_{0–0.31}\text{Mn}_{0–0.04})(\text{Fe}_{1.28–1.65}\text{Al}_{0–}$

$0.31\text{Ti}_{0.2–0.35}\text{Cr}_{0–0.13}\text{V}_{0–0.13})_2\text{O}_4$ , шпинел-ульвитовая  $(\text{Fe}_{0.7–0.81}\text{Mg}_{0–0.31}\text{Mn}_{0–0.02})(\text{Fe}_{1.22–1.41}\text{Al}_{0.27–0.37}\text{Ti}_{0.22–0.35}\text{Cr}_{0–0.12}\text{V}_{0–0.14})_2\text{O}_4$ , герцинито-ульвитовая  $(\text{Fe}_{0.75}\text{Mn}_{0.25})(\text{Fe}_{1.3}\text{Al}_{0.29}\text{Ti}_{0.27}\text{Cr}_{0.12}\text{V}_{0.02})_{16}\text{O}_{32}$  и ульвито-герциниловая  $(\text{Fe}_{0.96}\text{Mn}_{0.04})(\text{Fe}_{1.47}\text{Al}_{0.31}\text{Ti}_{0.2}\text{V}_{0.02})_2\text{O}_4$  разновидности магнетита; герцинито-магнетитовая  $(\text{Fe}_{0.95}\text{Mn}_{0.05})(\text{Fe}_{1.05}\text{Al}_{0.45}\text{Ti}_{0.42}\text{Cr}_{0.05}\text{V}_{0.03})_2\text{O}_4$  разновидность ульвита.

**Бомба трахиандезибазальта** содержит ульвитовую  $(\text{Fe}_{0.75–1}\text{Mg}_{0–25}\text{Mn}_{0–0.02})(\text{Fe}_{1.43–1.54}\text{Al}_{0.13–0.2}\text{Ti}_{0.18–0.35}\text{Cr}_{0–0.12}\text{V}_{0.2–0.3})_2\text{O}_4$ , магнезиоферрито-ульвитовую  $(\text{Fe}_{0.7–0.79}\text{Mg}_{0.21–0.3}\text{Mn}_{0–0.02})(\text{Fe}_{1.39–1.51}\text{Al}_{0.15–0.25}\text{Ti}_{0.28–0.34}\text{Cr}_{0–0.05}\text{V}_{0–0.21})_2\text{O}_4$ , магнохромито-ульвитовую  $(\text{Fe}_{0.66}\text{Mg}_{0.18}\text{Ni}_{0.12}\text{Mn}_{0.04})(\text{Fe}_{1.44}\text{Al}_{0.34}\text{Ti}_{0.18}\text{Cr}_{0.04})_2\text{O}_4$ , ульвито-магнезиоферритовую  $(\text{Fe}_{0.76}\text{Mg}_{0.21}\text{Mn}_{0.03})(\text{Fe}_{1.8}\text{Al}_{0.05}\text{Ti}_{0.16})_2\text{O}_4$  разновидности магнетита; ульвито-магнетитовую  $(\text{Fe}_{0.6}\text{Mg}_{0.4})(\text{Fe}_{1.57}\text{Al}_{0.14}\text{Ti}_{0.27}\text{V}_{0.02})_2\text{O}_{32}$  разновидность магнезиоферрита; шпинелевую  $(\text{Fe}_{0.86}\text{Mg}_{0.14})(\text{Fe}_{0.9}\text{Al}_{0.23}\text{Ti}_{0.87})_2\text{O}_4$  разновидность ульвита.

**Таблица 7.** Химический (мас. %) и минальный (мол. %) состав шпинелидных твердых растворов

Компоненты, миналы	1		2		3		4		5		6	
	Среднее	СКО	Среднее	СКО	Среднее	СКО	Среднее	СКО	Среднее	СКО	Среднее	СКО
Fe <sub>2</sub> O <sub>3</sub>	80.44	4.91	80.53	5.03	43.05	7.46	78.28	5.21	88.44	6.87	72.19	1.12
FeO			Не опр.						0.36	0.82	0.38	1.11
Al <sub>2</sub> O <sub>3</sub>	2.75	2.35	4.26	2.33	29.24	6.64	4.05	1.01	0.95	0.58	1.58	0.55
Cr <sub>2</sub> O <sub>3</sub>	0.35	0.92	1.71	1.83	6.92	1.31	1.24	2.20	0.09	0.19	He обн.	
TiO <sub>2</sub>	5.63	5.25	9.49	1.74	3.12	4.02	11.15	5.28	6.41	3.86	0.41	0.31
SiO <sub>2</sub>	Не обн.		Не обн.		0.13	0.31	Не обн.		Не обн.			
V <sub>2</sub> O <sub>5</sub>	«		0.78	0.30	Не обн.		0.81	0.46	0.02	0.03	Не обн.	
CuO	4.74	5.79	Не обн.		«		Не обн.		0.59	0.58	10.24	3.7
NiO	Не обн.		«		0.14	0.34	0.25	0.94	Не обн.			
ZnO	«		«		0.17	0.42	Не обн.		0.04	0.04	0.37	0.26
MnO	0.56	0.12	0.22	0.45	1.48	0.49	0.23	0.38	0.55	0.34	2.2	0.37
MgO	5.48	3.31	2.56	1.65	15.39	3.41	3.85	1.45	2.22	1.48	12.21	2.26
Магнетит	33.98	18.81	53.69	10.93	16.50	5.90	46.08	14.79	63.05	22.1	2.9	7.63
Магнезиоферрит	28.19	19.31	2.52	3.74	6.3	8.3	3.87	6.32	11.75	8.7	61.42	12.33
MgFe <sub>2</sub> O <sub>4</sub>												
Купрошпинель CuFe <sub>2</sub> O <sub>4</sub>	13.19	16.16	Нет		Нет		Нет		2.65	4.88	26.97	9.68
Якобсит MnFe <sub>2</sub> O <sub>4</sub>	2.32	7.98	0.35	1.09	«		0.03	0.14	0.25	0.79	4.0	2.18
Треворит NiFe <sub>2</sub> O <sub>4</sub>	Нет		Нет		«		0.24	1.03	Нет			
Герцинит FeAl <sub>2</sub> O <sub>4</sub>	4.38	5.01	3.13	5.85	3.0	7.3	0.34	1.49	«			
Галаксит MnAl <sub>2</sub> O <sub>4</sub>	1.50	0.66	0.65	1.14	3.3	1.2	1.42	2.45	1.8	1.2	2.5	1.51
Шпинель MgAl <sub>2</sub> O <sub>4</sub>	Нет		4.15	5.27	39.1	11.1	7.05	4.0	0.68	0.85	Нет	
NiAl <sub>2</sub> O <sub>4</sub>	«		Нет		0.2	0.4	0.50	1.76	Нет			
Ганит ZnAl <sub>2</sub> O <sub>4</sub>	«		«		0.3	0.8	Нет		Нет		0.77	0.88
Хромит FeCr <sub>2</sub> O <sub>4</sub>	0.56	1.33	0.45	1.53	11.7	15.1	0.50	1.55	Нет			
Магнохромит MgCr <sub>2</sub> O <sub>4</sub>	Нет		2.85	3.38	12.5	4.2	1.32	2.80	0.08	0.24	Нет	
Ульвит Fe <sub>2</sub> TiO <sub>4</sub>	15.89	14.69	27.67	7.07	7.2	10.5	31.44	14.85	19.9	12.15	1.32	0.79
Кулсонит FeV <sub>2</sub> O <sub>4</sub>	Нет		1.60	1.79	Нет		1.03	0.55	Нет			
Франклинит ZnFe <sub>2</sub> O <sub>4</sub>	Нет								Нет		0.1	0.4

Примечание. 1 – трахиандезибазальты; 2, 3 – трахибазальты, соответственно микровключения в стеклофазном матриксе и кристаллозернистые формы; 4 – бомба трахиандезибазальта; 5, 6 – вулканопещерные (в лавовых трубах) трахиандезиты, соответственно магнезиоферрит-магнетит и купрошпинеле-магнезиоферрит (Sharygin et al., 2018)

Обобщение полученных данных приводит к выводу о близком сходстве исследованных эффузивов по минальному составу ранней генерации шпинелидов. При этом в их составе, хотя и преобладают неплотные миналы (магнетит, купрошпинель), в значительной концентрации присутствуют и миналы промежуточной плотности (ульвит, магнезиоферрит) и даже высокоплотная шпинель. Такой смешанный минальный состав может говорить о кристаллизации шпинелидов в условиях относительно высоких давлений, что подтверждает интрапеллурическую природу этой генерации минералов.

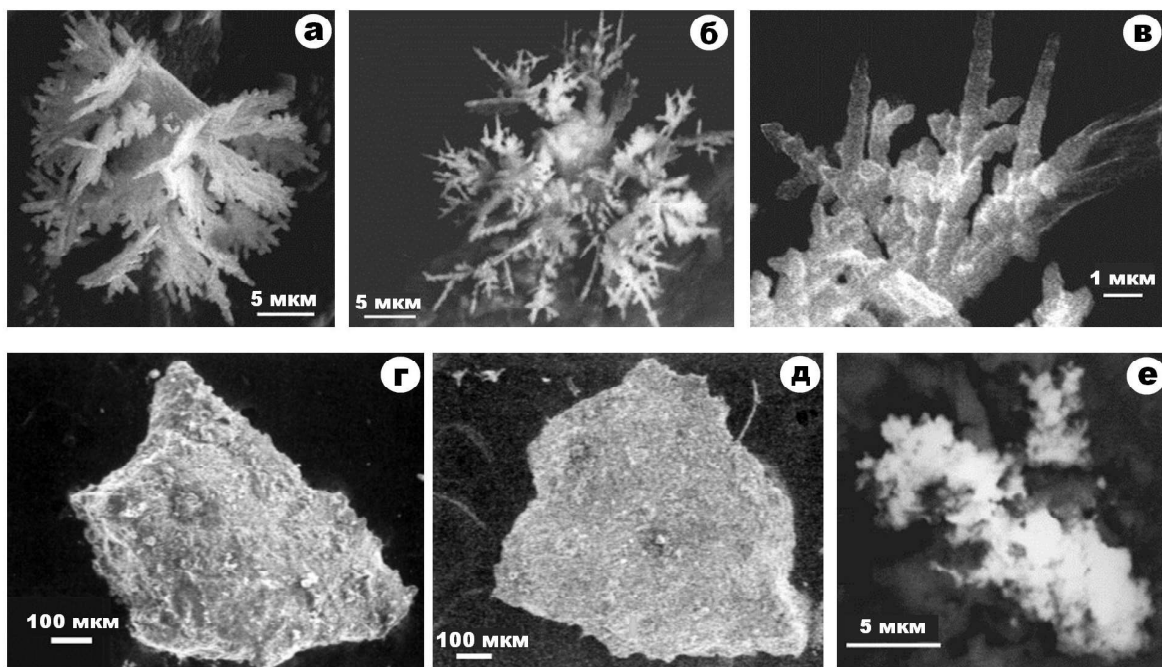
Значительный интерес в части шпинелидных твердых растворов представляют собой лавопещерные вулканиты, тоже образовавшиеся в ходе ТТИ-50 (Белоусов, Белоусова, 2014; Тарасов, Назарова, 2018). В составе этих эффузивов тоже были выявлены (Sharygin et al., 2018) две генерации шпинелидов – ранняя, преимущественно купрошпинеле-магнезиоферритовая, представленная идиокристаллическими индивидами, и поздняя – магнетитовая, ошибочно принятая авторами за гематит. Ранняя генерация с эмпирической формулой ( $Mg_{0.34-0.89}Cu_{0.01-0.47}Fe_{0-0.28}Mn_{0.02-0.09}Zn_{0-0.03}$ )( $Fe_{1.8-1.95}Al_{0-0.11}Ti_{0-0.15}O_4$ )

$\text{Mg}_{0.94}\text{Fe}_{0.04}\text{O}_4$  по минальному составу подразделяется на шесть минальных разновидностей (в последовательности увеличения частоты встречаемости): купрошпинеле-магнезиоферритовую, купрошпинеле-магнетитомагнезиоферритовую, магнетито-магнезиоферритовую, магнетито-магнезиоферрито-купрошпинелевую магнезиоферрито-купрошпинелевую и магнезиоферритовую. Очевидно, что в этой генерации шпинелидов преобладают промежуточные по плотности миналы, указывающие на образование минералов в относительно глубинных условиях. Для поздней генерации лавопещерных шпинелидов с эмпирической формулой  $(\text{Fe}_{0.69-0.98}\text{Mg}_{0.01-0.26}\text{Cu}_{0-0.07}\text{Mn}_{0-0.05})(\text{Fe}_{1.49-1.95}\text{Ti}_{0.03-0.38}\text{Al}_{0.01-0.13}\text{Cr}_{0-0.02})_2\text{O}_4$  свойственна другая последовательность минальных разновидностей: магнезиоферрито-ульвито-магнетитовая, магнезиоферрито-магнетито-ульвитовая, ульвито-магнетитовая и магнетитовая. В этой генерации, как видно, резко преобладают неплотные миналы (магнетит). Проведенный анализ показал, что в рамках эффузивной фации ТТИ-50 при общем сходстве состава шпинелидов полное их совпадение по минальным разновидностям не превышает 30%. Следовательно, изученные вулканы, включая и лавопещерные, по шпинелидам не являются тождественными. Особенно в части ранней генерации. Для каждой из исследованных пород выявляются свои собственные множества типоморфных разновидностей ранних шпинелидов. Так, для трахиандезибазальтов таковыми являются магнезиоферрито-ульвито-магнетитовая, магнетито-ульвито-магнезиоферритовая, купрошпинеле-магнетито-магнезиоферритовая, магнетито-купрошпинеле-магнезиоферритовая, магнетито-магнезиоферрито-ульвитовая и магнезиоферрито-магнетито-купрошпинелевая разновидности. К типоморфным для трахибазальтов относятся шпинеле-ульвито-магнетитовая, ульвито-герцинито-магнетитовая и герцинито-магнетито-ульвитовая разновидности. Бомба трахиандезибазальта отличается присутствием магнохромито-ульвито-магнетитовой, ульвито-магнезиоферрито-магнетитовой, ульвито-магнетито-магнезиоферритовой и шпинеле-ульвитовой разновидностей.

К акцессорным и микроразмерным минералам в исследуемых эффузивах отнесены железо-титановые оксиды, сульфиды, сульфаты и самородно-металлические фазы. В трахиандезибазальтах и трахибазальтах в магнетитовых зернах с пластинчатыми структурами распада установлен гейкилито-гемоильменит состава  $(\text{Fe}_{0.84-0.93}\text{Mg}_{0.07-0.16}\text{Mn}_{0-0.01})(\text{Ti}_{0.66-0.77}\text{Fe}_{0.12-0.23}\text{Al}_{0.05-0.09}\text{Cr}_{0.02-0.03}\text{V}_{0-0.03})\text{O}_3$ . В бомбе трахиандезитобазальта в качестве субиндивидов распада выявлены гейкилитовая  $(\text{Fe}_{0.66}\text{Mg}_{0.32}\text{Mn}_{0.02})(\text{Fe}_{0.19}\text{Al}_{0.37}\text{Ti}_{0.34}\text{Cr}_{0.08}\text{V}_{0.02})\text{O}_3$  и гейкилито-ильменитовая  $(\text{Fe}_{0.79}\text{Mg}_{0.21})(\text{Fe}_{0.21}\text{Al}_{0.26}\text{Ti}_{0.42}\text{Cr}_{0.10}\text{V}_{0.02})_{2.01}\text{O}_4$  разновидности гематита. Судя по составу этих фаз, факторами распада первичных шпинелидных растворов послужили избыточные содержания магния, алюминия, хрома и титана. Среди сульфидов наибольший интерес представляют очень необычные дендритовидные вершинно-реберные скелетные формы (рис. 14, а–в). Состав этих минералов варьируется в диапазоне  $\text{Cu}_{1.7}\text{S}-\text{Cu}_{1.32}\text{S}$ , что соответствует джириту-спионкопиту. Из сульфатов обнаружен гипс. Металлические фазы имеют широкое распространение, образуя микрозернистые примазки на стенах пустот и отдельные зерна в микротрещинах (рис. 14, г–е). Они представлены самородным железом состава  $\text{Fe}_{0.93-0.95}\text{Si}_{0.04-0.06}(\text{Cu},\text{Mn},\text{Cr})_{0.01-0.02}$  или  $\text{Fe}_{75}\text{Sn}_4(\text{Cu},\text{Mn},\text{Cr})$  и медью состава  $\text{Cu}_{0.8-0.89}\text{Sn}_{0.10-0.18}\text{Fe}_{0.01-0.02}$  или  $\text{Cu}_{7-10}(\text{Sn}_{0.9-1.8}\text{Fe}_{0.1-0.2})_{1-2}$ . Кроме этого, в вулканитах ТТИ-50 А.Г. Симакиным с коллегами выявлены самородный никель, золото-платиновый сплав состава  $\text{Au}_{0.8}\text{Pt}_{0.2}$  и фторид никеля  $\text{NiF}_2$  (Simakin et al., 2015).

## Выводы

Результаты исследований эффузивов ТТИ-50 приводят к выводу о двухфазности этого извержения. Оно, вероятно, началось фазой эruptionи высококалиевых, низкомагнезиальных, но относительно высокотитанистых и высокоглиноземистых трахиандезибазальтов, сменившейся кратковременной фазой менее щелочных, но достаточно высококалиевых трахибазальтов.



**Рис. 14.** Сульфиды группы халькозина (*а, б*), самородное железо (*с, д*) и бронза (*е*) из эфузивов ТТИ-50. Сэм-изображения в режиме упруго-отраженных электронов

В сравнении с лавами других Толбачинских извержений (БТТИ, ТД) вулканиты ТТИ-50 выглядят аномальными – более щелочными, гораздо более высококалиевыми, более титанистыми, но при этом относительно низкомагнезиальными. По геохимическим свойствам исследованные породы больше соответствуют не островодужным вулканитам, а магматитам, формирующимся на бортах рифтовых долин (в нашем случае – на борту Центрально-Камчатского «грабена») за счет глубинно-мантийных очагов. Исходный расплав имел, вероятно, пикритоидный состав.

По признаку везикулярности эфузивы ТТИ-50 подразделяются на пять разновидностей: плотные, везикулярные, пузыристо-везикулярные, везикулярно-пузыристые и пузыристо-шлаковидные, формирование которых обусловлено варьирование режима газовыделения при остывании лав.

Исследованные породы на 80–90% состоят из вулканического стекла, степень раскрытия кристаллизации которого снижается в последовательности трахиандезибазальты (содержание микролитов 17.5%) → трахизабазальты (13.8%) → бомбы трахизабазальта (12.5%) → шлаковидные трахиандезибазальты (10%). Среди микролитов преобладают оливин,

плагиоклазы и шпинелиды. Оливин отвечает магнезиальному гортонолиту состава Fo<sub>56–84</sub>. Плагиоклазы варьируются от битовнита An<sub>87±9</sub>Ab<sub>9±10</sub>Ort<sub>4±2</sub> до лабрадора An<sub>73±8</sub>Ab<sub>21±11</sub>Ort<sub>18±10</sub> с минальной примесью ортоклаза. Шпинелиды представляют собой поликомпонентные твердые растворы на основе магнетита, магноферрита, ульвита и купрошинели. В качестве типоморфных минальных разновидностей установлены: для трахиандезибазальтов – магнезиоферрито-ульвито-магнетиты, магнетито-ульвито-магнезиоферриты, купрошинеле-магнетито-магнезиоферриты, магнетито-купрошинеле-магнезиоферриты, магнетито-магнезиоферрито-ульвиты и магнезиоферрито-магнетито-купрошинели; для трахизабазальтов – шпинеле-ульвито-магнетиты, ульвито-герцинито-магнетиты и герцинито-магнетито-ульвиты; для бомбы трахиандезибазальта – магнохромито-ульвито-магнетиты, ульвито-магнезиоферрито-магнетиты, ульвито-магнетито-магнезиоферриты и шпинеле-ульвиты.

К акцессорным и микроразмерным минералам в исследованных эфузивах отнесены железо-титановые оксиды, сульфиды и самородно-металлические фазы. В трахиандезибазальтах и трахизабазальтах в магнети-

товых зернах с пластинчатыми структурами распада установлен гейкилито-гемоильменит состава  $(\text{Fe}_{0.84-0.93}\text{Mg}_{0.07-0.16}\text{Mn}_{0-0.01})(\text{Ti}_{0.66-0.77}\text{Fe}_{0.12-0.23}\text{Al}_{0.05-0.09}\text{Cr}_{0.02-0.03}\text{V}_{0-0.03})\text{O}_3$ . В бомбе трахиандезитобазальта в качестве субиндивидов распада выявлены гейкилитовая  $(\text{Fe}_{0.66}\text{Mg}_{0.32}\text{Mn}_{0.02})(\text{Fe}_{0.19}\text{Al}_{0.37}\text{Ti}_{0.34}\text{Cr}_{0.08}\text{V}_{0.02})\text{O}_3$  и гейкилито-ильменитовая  $(\text{Fe}_{0.79}\text{Mg}_{0.21})(\text{Fe}_{0.21}\text{Al}_{0.26}\text{Ti}_{0.42}\text{Cr}_{0.10}\text{V}_{0.02})_{2.01}\text{O}_4$  разновидности гематита. Сульфиды представлены минералами группы халькозина –  $\text{Cu}_{1.7}\text{S}-\text{Cu}_{1.32}\text{S}$ , что соответствует джириту-спионкопиту. Из металлических фаз обнаружены самородное железо состава  $\text{Fe}_{75}\text{Sn}_4(\text{Cu}, \text{Mn}, \text{Cr})$  и самородная медь состава  $\text{Cu}_{7-10}(\text{Sn}_{0.9-1.8}\text{Fe}_{0.1-0.2})_{1-2}$ .

Таким образом, полученные результаты приводят к заключению о том, что эфузивы ТТИ-50 в целом характеризуются комплексом специфичных петрологических, геохимических и минералого-геохимических свойств, что может иметь отношение к феномену алмазопродуктивности последнего извержения Толбачика.

### Библиографический список

*Белоусов А.Б., Белоусова М.Г.* Горячие лавовые пещеры вулкана Толбачик и их необычные минеральные образования // Вестник ДВО РАН. 2014. № 5. С. 148–150.

*Блох Ю.И., Бондаренко В.И., Долгаль А.С., Новикова П.Н., Петрова В.В., Полиенко О.В., Рашидов В.А., Трусов А.А.* Вулканический массив Райкоке (Курильская островная дуга) // Вулканология и сейсмология. 2021. № 4. С. 61–80.

Большое трещинное Толбачинское извержение (1975–1976 гг., Камчатка). Москва: Наука. 1984. 637 с.

*Волынец А.О., Мельников Д.В., Грибоедова И.Г.* Вещественные состав вулканических пород Толбачинского трещинного извержения 2012–2013 гг. // Толбачинское трещинное извержение 2012–2013 гг. (ТТИ-50). Новосибирск: Изд-во СО РАН, 2017. С. 175–216.

*Волынец А.О., Мельников Д.В., Якушев А.И.* Первые данные о составе продуктов Трещинного Толбачинского извержения им. 50-летия ИВиС (Камчатка) // Доклады АН. 2013. Т. 452. № 3. С. 303–307.

*Гордеев Е.Л., Карпов Г.А., Аникин Л.П., Крюковичев С.В., Филатов С.К., Антонов А.В., Овсянников А.А.* Алмазы в лавах Трещинного Тол-

бачинского извержения на Камчатке // Доклады АН. 2014. Т. 454. № 2. С. 204–206.

*Гордеев Е.Л., Силаев В.И., Карпов Г.А., Аникин Л.П., Васильев Е.А., Сухарев А.Е.* Об истории открытия и природе алмазов в вулканических породах Камчатки // Вестник ПГУ. Геология. 2019. Т. 18. № 1. С. 307–331.

*Добрецов Н.Л.* Толбачик – геохимический феномен // Наука из первых рук. 2018. № 2/3 (78). С. 52–57

*Карпов Г.А., Аникин Л.П., Флеров Г.Б., Чубаров В.М., Дунин-Барковский Р.Л.* Минералогопетрографические особенности алмазосодержащих продуктов Трещинного Толбачинского Извержения 2012–2013 гг. // Вулканализм и связанные с ним процессы. Петропавловск-Камчатский, 2014. С. 283–288.

*Костицын Ю.А.* Взаимосвязь между химической и изотопной ( $\text{Sr}, \text{Nd}, \text{Hf}, \text{Pb}$ ) гетерогенностью мантии // Геохимия, 2007. № 12. С. 1267–1291.

*Лютоев В.П., Лысюк А.Ю., Литвиненко Ю.С., Захарькина Л.В.* Мёссбауэровская, ЭПР и ИК спектроскопия вулканических пеплов Камчатки // Минералогия техногенеза. 2017. Т. 18. С. 109–137.

*Лютоев В.П., Потапов С.С., Исаенко С.И., Лысюк А.Ю., Симакова Ю.С., Самотолкова М.Ф.* Минеральное вещество метеорита Челябинск: ИК-поглощение, комбинационное рассеяние и мёссбауэровская спектроскопия  $^{57}\text{Fe}$  // Вестник Института геологии Коми НЦ УрО. 2013. № 7. С. 2–9.

*Мяндин А.С., Тарасов К.В.* Статистическая характеристика пузыристости лав Трещинного Толбачинского извержения (ТТИ-50) 2012–2013 гг. на Камчатке // Вестник ИГ Коми НЦ. 2017. № 3. С. 35–38.

*Перепелов А.Б., Пузанков Б.Ю., Иванов А.В., Философова Т.М.* Базаниты горы Хухч – первые минералого-геохимические данные по неогеновому К-На-щелочному магматизму Западной Камчатки // Доклады АН. 2006. Т. 409. С. 765–768.

*Силаев В.И., Карпов Г.А., Аникин Л.П., Васильев Е.А., Вергасова Л.П., Смолева И.В.* Минерально-фазовый парагенезис в эксплозивных продуктах современных извержений вулканов Камчатки и Курил. Часть 1. Алмазы, углеродные фазы, конденсированные органоиды // Вулканология и сейсмология. 2019. № 5. С. 54–67.

*Силаев В.И., Карпов Г.А., Аникин Л.П., Филиппов В.Н., Смолева И.В., Макеев А.Б., Шанина С.Н., Вергасова Л.П., Киселева Д.В., Солошенко Н.Г., Чередниченко Н.В., Хазов А.Ф., Тарасов К.В.* Петро-минералого-геохимические свой-

ства пеплов вершинных извержений вулкана Ключевского 2020–2021 гг., предшествующих побочному извержению прорыва Горшкова // Вулканология и сейсмология. 2022. № 2. С. 3–27.

Силаев В.И., Карпов Г.А., Ракин В.И., Анкин Л.П., Васильев Е.А., Филиппов В.Н., Петровский В.А. Алмазы в продуктах Трецинного Толбачинского извержения 2012–2013, Камчатка // Вестник ПГУ. Геология. 2015. № 1. С. 6–27.

Силаев В.И., Чайковский И.И., Харитонов Т.В., Филиппов В.Н., Хазов А.Ф. К проблеме атипичных и нетрадиционных минералов-спутников алмаза (на примере Урала). Сыктывкар, 2009. 65 с.

Тарасов К.В., Назарова М.А. Вещественный состав лавопещерных минерализаций, образовавшихся в ходе Толбачинского трещинного извержения 2012–2013 гг. // Структура, вещество, история литосферы Тимано-Североуральского сегмента: Материалы 27-й науч. конф. Института геологии Коми НЦ УрО РАН. Сыктывкар. 2018. С. 215–218.

Хеджес К.Е., Горшков Г.С. Изотопный состав стронция вулканических пород // ДАН СССР, 1977. Т. 233. № 6. С. 1200–1203.

Хубуная С.А., Еремина Т.С., Соболев А.В. Формационная принадлежность калиевых трахиандезибазальтов побочного извержения 2012–2013 гг. вулкана Плоский Толбачик по геохимическим признакам // Вулканология и сейсмология, 2016. № 1. С. 1–19.

Эрлих Э.Н. Современная структура и четвертичный вулканизм западной части Тихоокеанского кольца. Новосибирск: Наука. 1979 (Интернет-версия, 2010).

Churikova T.G., Gordeychik B.N., Iwamori H., Nakamura H., Ishizuka O., Nishizawa T., Haraguchi, Miyazaki T., Vaglarov B.S. Petrological and geochemical evolution of the Tolbachik volcanic massif, Kamchatka, Russia // J. Volcanology and Geothermal Research, 2015. V. 307. P. 156–181.

Grandjean F., Long J.G., Hautot D., Whithey D.L. A Mossbauer spectral study of the Jilin meteorite // Hyperfine Interaction. 1998. V. 116. P. 105–115.

Dyar M.D. A review of Mossbauer data on inorganic glasses: the effects of composition on iron valency and coordination // Amer. Mineral. 1985. V. 70. P. 304–316.

Dyar M.D., Agresti D., Schaefer M.W., Grant C.A., Sklute E.C. Mossbauer Spectroscopy of Earth and Planetary Materials // Annual Rev. Earth and Planetary Sci. 2006. V. 34. P. 83–125.

Dyar M.D., Sklute E.C., Menzies O.N., Bland P.A., Lindsley D., Glotch T., Lane M.D., Schaefer M.W., Wopenka B., Klima R., Bishop J.L.

Hiroi T., Pieters C., Sunshine J. Spectroscopic characteristics of synthetic olivine: An integrated multi-wavelength and multi-technique approach // Amer. Mineral. 2009. V. 94. P. 883–898.

Finnerty A.A., Boyd F.R. Pressure-dependent solubility of calcium in forsterite coexisting with diopside and enstatite // Carnegie Institute Annual Report Dir. Geophys. Lab. 1977–1978. Washington. 1978. P. 713–717.

Hollocher K., Robinson P., Walsh E., Roberts D. Geochemistry of amphibolite-facies volcanics and gabbros of the Store Nape in extensions west and southwest of Trondheim, western Gneiss Region Norway: a key to correlations and paleotectonic settings // Amer. J. Science. 2012. V. 312. № 4. P. 357–416.

Ionov D.A. Petrology of mantle wedge lithosphere: new data on supra-subduction zone peridotite xenoliths from the andesitic Avacha Volcano, Kamchatka // J. Petrol. 2010. V. 51 (1–2). P. 327–361.

Nikolaev G.S., Borisov A.A., Ariskin A.A. Calculation of the ferric-ferrous ratio in magmatic melts: Testing and additional calibration of empirical equations for various magmatic series // Geochemistry International. 1996. V. 34. № 8. P. 713–722.

Pearse J.A., Norry M.Y. Petrogenetic implication of Ti, Zr, Y and Nb variation in volcanic rocks // Contrib. Mineral. Petrol. 1979. V. 69. P. 33–47.

Peccerillo A., Taylor S.R. Geochemistry of Eocene calc-alkaline volcanic rocks from the Kastamonu area Northern Turkey // Contrib. Mineral. Petrol. 1976. V. 58. P. 63–81.

Portnyagin M., Duggen S., Hauff F., Mironov N., Bindeman I., Thirwall M., Hoernle K. Geochemistry of the late Holocene rocks from the Tolbachik volcanic field, Kamchatka: Quantitative modeling of subductions-related open magmatic systems // J. Volcan. and Geotherm. Res. 2015. V. 307. P. 133–155.

Sharygin V.V., Kamenetsky V.S., Zhitova L.M., Belousov A.B., Aberstein A. Copper-Containing Magnesioferrite in Vesicular Trachyandesite in Lava Tube from the 2012–2013 Eruption of the Tolbachik Volcano, Kamchatka, Russia // Minerals. 2018. V. 8 (11). P. 514

Simakin A., Salova T., Devyatova V., Zelensky M. Reduced carbonic fluid and possible nature of high-K magmas // J. Vulcan. and Geotherm. Res. 2015. V. 307. P. 210–221.

Zelensky M., Malik N., Taran Yu. Emissions of trace elements during the 2012–2013 effusive eruption of Tolbachik volcano, Kamchatka: enrichment factors, portion coefficients and aerosol contribution // J. Vulcan. and Geotherm. Res. 2014. V. 285. P. 136–149.

# Bubbling Lavas of the Diamond-Bearing Tolbachik Fissure Eruption of 2012–2013 (TTE-50, Kamchatka)

V.I. Silaev<sup>a</sup>, L.P. Anikin<sup>b</sup>, G.A. Karpov<sup>b</sup>, D.N. Remizov<sup>c</sup>, A.S. Myandin<sup>a</sup>, V.N. Filippov<sup>a</sup>, A.F. Khazov<sup>a</sup>, V.P. Lutoev<sup>a</sup>, D.V. Kiseleva<sup>d</sup>

<sup>a</sup>Institute of Geology Komi SC, Ural Branch of Russian Academy of Sciences, 54 Pervomayskaya Str., Syktyvkar 167982, Russia

<sup>b</sup>Institute of Volcanology and Seismology, Far East Branch, Russian Academy of Sciences, 9 Piyp Blvd., Petropavlovsk-Kamchatskiy 683006, Russia

<sup>c</sup>Russian Research Institute named after A.P. Karpinskiy, 199196, St. Petersburg, 74 Sredniy Ave. VO, Russia

<sup>d</sup>Institute of Geology and Geochemistry, Ural Branch of the Russian Academy of Sciences, 15 Academician Vonsovskiy Str., Yekaterinburg 620016, Russia

The results of comprehensive petrological, geochemical, and mineralogical studies of effusive volcanic rocks from the diamond-bearing Tolbachik fissure eruption of 2012–2013 (TTI-50) are summarized. It is concluded that the eruption was two-phase, which began with a short-term eruption of trachybasalts and continued with the formation of trachyandesite basalts. In comparison with lavas from other Tolbachik eruptions (BTTI, BD), the studied volcanic rocks are characterized by higher alkalinity and high K content (up to shoshonites), but lower Mg content. In terms of geochemical properties, they correspond to riftogenic magmatites formed due to the deep-mantle chamber of picrite magma. The studied volcanic rocks are characterized by widely varying vesicularity up to bubbly lavas, which comprise 80–90% of volcanic glass, and whose degree of recrystallization varies from maximum in basaltic trachyandesite to minimum in trachyandesitebasalt bomb. According to the degree of iron oxidation in the glass phase, volcanics correspond to the products of terrestrial eruptions in an island-arc or continental-rift geodynamic setting. The microlites are dominated by olivine  $Fo_{56-84}$ , plagioclases  $An_{87 \pm 9} Ab_{9 \pm 10} Ort_{4 \pm 2}$ , and spinel solid solutions based on magnetite, magnoferrite, ulvite, and cuprospinel. Individuals of decomposition in phase-heterogeneous grains of magnetite are represented by hemoilmenite and ilmenite. As accessory microminerals, jirite-spionkopite of composition  $Cu_{1.7}S-Cu_{1.32}S$ , native iron composed of  $Fe_{75}Sn_4(Cu,Mn,Cr)$ , and native copper of composition  $Cu_{7-10}(Sn_{0.9-1.8}Fe{0.1-0.2})_{1-2}$ .

**Key words:** Tolbachik fissure eruption; effusive rocks; petrological mineralogical geochemical properties

## References

Belousov A.B., Belousova M.G. 2014. Goryachie lavovye peschery vulkana Tolbachik i ikh neobichnye mineralnye obrazovaniya [Hot lavas caves of Tolbachik volcano and their unusual mineral compounds]. Vestnik DVO RAN. 5:148–150. (in Russian)

Bolshoe treshchinnnoe Tolbachinskoe izverzhenie (1975–1976 gg., Kamchatka) [Large Tolbachik fissure eruption (1975-1976 Kamchatka)]. Nauka, Moskva, 1984, p 637. (in Russian)

Volynets A.O., Melnikov D.V., Griboedova I.G. 2017. Veschestvennyy sostav vulkanicheskikh porod Tokbachinskogo treshchinnogo izverzheniya 2012–2013 gg [Substantial composition of volcanic rock of the Tolbachik fissure eruption 2012-2013]. In: Tolbachinskoe treshchinnoe izverzhenie 2012–2013 gg. (TTI-50). SO RAN, Novosibirsk, pp. 175–216. (in Russian)

Volynets A.O., Melnikov D.V., Yakushev A.I. 2013. Pervye dannye o sostave produktov Treshchinnogo Tolbachinskogo izverzheniya im. 50-letiya IViS (Kamchatka) [The first data on the composition of the products of the fissure Tolbachik eruption named after 50th anniversary of IV&S (Kamchatka)]. Doklady AN. 452(3):303–307. (in Russian)

Gordeev E.L., Karpov G.A., Anikin L.P., Krivovichev S.V., Filatov S.K., Antonov A.V., Ovsyannikov A.A. 2014. Almazy v lavakh Treshchinnogo Tolbachinskogo izverzheniya na Kamchatke [Diamonds in the lavas of the Fissure Tolbachik eruption in Kamchatka]. Doklady AN. 454(2):204–206. (in Russian)

Gordeev E.L., Silaev V.I., Karpov G.A., Anikin L.P., Vasiliev E.A., Sukharev A.E. 2019. Ob istorii otkrytiya i prirode almazov v vulkanicheskikh porodakh Kamchatki [On the history of the discovery and nature of diamonds in volcanic rocks of Kamchatka]. Vestnik Permskogo universiteta. Geologiya. 18(4):307–331. (in Russian)  
doi:10.17072/psu.geol.18.4.307

- Dobrezov N.L. 2018. Tokbachik – geokhimicheskiy fenomen [Tolbachik as a geochemical phenomenon]. Nauka iz pervykh ruk. 2/3 (78):52–57. (in Russian)
- Karpov G.A., Anikin L.P., Flerov G.B., Chubarov V.M., Dunin-Barkovsky R.L. 2014. Mineralogopetrograficheskiye osobennosti almazosoderzhashchikh produktov Treshchinnogo Tolbachinskogo Izverzheniya 2012–2013 gg. [Mineralogical and petrographic features of diamond-bearing products of the Fissure Tolbachik Eruption of 2012–2013]. In: Volcanism and related processes. Petropavlovsk-Kamchatsky, pp. 283–288. (in Russian)
- Kostitsyn Yu.A. 2007. Vzaimosvyaz mezhdu khimicheskoy i izotopnoy (Sr, Nd, Hf, Pb) geterogennosti mantii [Relationship between chemical and isotopic (Sr, Nd, Hf, Pb) mantle heterogeneity]. Geokhimiya. 12:1267–1291. (in Russian)
- Lyutoev V.P., Lysyuk A.Yu., Litvinenko Yu.S., Zakharkina L.V. 2017. Mossbauerovskaya, EPR i IK spektroskopiya vulkanicheskikh peplov Kamchatki [Mössbauer, EPR and IR spectroscopy of Kamchatka volcanic ash]. In: Mineralogiya tekhnogeneza. 18:109–137. (in Russian)
- Lyutoev V.P., Potapov S.S., Isaenko S.I., Lysyuk A.Yu., Simakova Yu.S., Samotolkova M.F. 2013. Mineralnoye veshchestvo meteorita Chelyabinsk: IK-pogloshcheniye, kombinatsionnoye rasseyaniye i mossbauerovskaya spektroskopiya 57Fe [Mineral matter of the Chelyabinsk meteorite: IR absorption, Raman scattering and Mössbauer spectroscopy of 57Fe]. Bulletin of the Institute of Geology of the Komi Scientific Center of the Ural Branch. 7:2–9. (in Russian)
- Myandin A.S., Tarasov K.V. 2017. Statisticheskaya kharakteristika puzyrystosti lav Treshchinnogo Tolbachinskogo izverzheniya (TTI-50) 2012–2013 gg. na Kamchatke [Statistical characteristics of lava bubbles from the Fissure Tolbachik eruption (TFE-50) 2012–2013 in Kamchatka]. Vestnik IG Komi SC. 3:35–38. (in Russian)
- Pearse J.A., Norry M.Y. 1979. Petrogenetic implication of Ti, Zr, Y and Nb variation volcanics rocks. Contrib. Mineral. Petrol. 69:33–47.
- Peccerillo A., Taylor S.R. 1976. Geochemistry of Eocene calc-alkaline volcanic rocks from the Kastamonu area Northern Tuken. Contrib. Mineral. Petrol. 58:63–81.
- Perepelov A.B., Puzankov L.Yu., Ivanov A.V., Filosofova T.M. 2006. Bazanity gory Khukhch – pervye mineralogo-geokhimicheskiye dannye po neogenovomu K-Na-shchelochnomu magmatizmu Zapadnoy Kamchatki [Basanites of Mount Khukhch – the first mineralogical and geochemical data on the Neogene K-Na-alkaline magmatism of Western Kamchatka]. Doklady AN. 409:765–768. (in Russian)
- Portnyagin M., Duggen S., Hauff F., Mironov N., Bindeman I., Thirwall M., Hoernle K. 2015. Geochemistry of the late Holocene rocks from the Tolbachik volcanic field, Kamchatka: Quantitative modeling of subductions-related open magmatic systems. J. Volcanology and Geothermal Research. 307:133–155.
- Silaev V.I., Karpov G.A., Anikin L.P., Vasiliev E.A., Vergasova L.P., Smoleva I.V. 2019. Mineralnofazovyy paragenezis v eksplozivnykh produktakh sovremennoy izverzheniy vulkanov Kamchatki i Kuril. Chast' 1. Almazy, uglerodnyye fazy, kondensirovannye organoidy [Mineral-phase paragenesis in explosive products of recent eruptions of the volcanoes of Kamchatka and the Kuriles. Part 1. Diamonds, carbon phases, condensed organelles]. Vulkanologiya i seismologiya. 5:54–67. (in Russian)
- Silaev V.I., Karpov G.A., Anikin L.P., Filippov V.N., Smoleva I.V., Makeev A.B., Shanina S.N., Vergasova L.P., Kiseleva D.V., Soloshenko N.G., Cherednichenko N.V., Khazov A.F., Tarasov K.V. 2022. Petro-mineralogo-geokhimicheskiye svoystva peplov vershinnykh izverzheniy vulkana Klyuchevskogo 2020–2021 gg, predshestvuyushchikh pobochnomu izverzheniyu proryva Gorshkova [Petro-mineralogical-geochemical properties of ashes from the summit eruptions of the Klyuchevskoy volcano in 2020–2021, preceding the side eruption of the Gorshkov gap]. Vulkanologiya i seismologiya. 2:3–27. (in Russian)
- Silaev V.I., Karpov G.A., Rakin V.I., Anikin L.P., Vasiliev E.A., Filippov V.N., Petrovsky V.A. 2015. Almazy v produktakh Treshchinnogo Tolbachinskogo izverzhaniya 2012–2013, Kamchatka [Diamonds in products of the Fissure Tolbachik eruption 2012–2013, Kamchatka]. Vestnik Permskogo universiteta. Geologiya. 1:6–27. (in Russian) doi: 10.17072/psu.geol.26.6
- Silaev V.I., Tchaikovsky I.I., Kharitonov T.V., Filippov V.N., Khazov A.F. 2009. K probleme atipichnykh i netraditsionnykh mineralov-sputnikov almaza (na primere Urala) [On the problem of atypical and non-traditional minerals-satellites of diamond (on example of the Urals)]. Syktyvkar, p. 65. (in Russian)
- Tarasov K.V., Nazarova K.V. 2018. Veshestvennyy sostav lavopeshchernykh mineralizatsiy, obrazovavshchikhsya v khode Tolbachinskogo treshchinnogo izverzheniya 2012–2013 gg. [Substantial composition lava-cave mineralizations formed during the Tolbachik fissure eruption 2012–2013]. In: Struktura, veshchestvo, istoriya litosfery Timano-Severouralskogo segmenta. Proc. 27 nauch.

- konf. Instituta geologii Komi NC UrO RAN. Syktyvkar. pp. 215–218. (in Russian)
- Hedg K.E. Gorshkov G.S.* 1977. Izotopnyy sostav strontsiya vulkanicheskikh porod [Isotopic composition of strontium of volcanic rocks]. DAN SSSR. 233(6):1200–1203. (in Russian)
- Khubunaya S.A., Eremina T.S., Sobolev A.V.* 2016. Formatsionnaya prinadlezhnost kaliyevykh trakhiandezibazaltov pobochnogo izverzheniya 2012–2013 gg. vulkana Ploskiy Tolbachik po geokhimicheskim priznakam [Formation appurtenance of potassic trachyandesite basalts from a side 2012–2013 Ploskiy Tolbachik volcano eruption by geochemical features]. Vulkanologiya and seismologiya. 1:1–19. (in Russian)
- Erlikh E.N.* 1979. Sovremennaya struktura i chetvertichnyy vulkanizm zapadnoy chasti Tikhookeanskogo koltsa [Modern structure and Quaternary volcanism of western part of the Pacific Ring]. Nauka. Moskva, p. 249. (in Russian)
- Churikova T.G., Gordeychik B.N., Iwamori H., Nakamura H., Ishizuka O., Nishizawa T., Haraguchi, Miyazaki T., Vaglarov B.S.* 2015. Petrological and geochemical evolution of the Tolbachik volcanic massif, Kamchatka, Russia. J. Volcan. and Geotherm. Res. 307:156–181.
- Grandjean F., Long J. G., Hautot D., Whithey D. L.* 1998. A Mossbauer spectral study of the Jilin meteorite. Hyperfine Interaction. 116:105–115.
- Dyar M. D.* 1985. A review of Mossbauer data on inorganic glasses: the effects of composition on iron valency and coordination. Amer. Mineral. 70:304–316.
- Dyar M. D., Agresti D., Schaefer M. W., Grant C. A., Sklute E. C.* 2006. Mossbauer Spectroscopy of Earth and Planetary Materials. Annual Rev. Earth and Planetary Sci. 34:83–125.
- Dyar M. D., Sklute E. C., Menzies O. N., Bland P. A., Lindsley D., Glotch T., Lane M. D., Schaefer M. W., Wopenka B., Klima R., Bishop J. L.*
- Hiroi T., Pieters C., Sunshine J.* 2009. Spectroscopic characteristics of synthetic olivine: An integrated multi-wavelength and multi-technique approach. Amer. Mineral. 94:883–898.
- Finnerty A. A., Boyd F. R.* 1978. Pressure-dependent solubility of calcium in forsterite coexisting with diopside and enstatite. Carnegie Institute Annual Report Dir. Geophys. Lab. 1977–1978. Washington. pp. 713–717.
- Hollocher K., Robinson P., Walsh E., Roberts D.* 2012. Geochemistry of amphibolite-facies volcanics and gabbros of the Store Nape in extensions west and southwest of Trondheim, western Gneiss Region Norway: a key to correlations and paleotectonic settings. Amer. J. Science. 312(4):357–416.
- Ionov D. A.* 2010. Petrology of mantle wedge lithosphere: new data on supra-subduction zone peridotite xenoliths from the andesitic Avacha Volcano, Kamchatka. J. Petrol. 51(1–2):327–361.
- Nikolaev G. S., Borisov A. A., Ariskin A. A.* 1996. Calculation of the ferric-ferrous ratio in magmatic melts: Testing and additional calibration of empirical equations for various magmatic series. Geochemistry International. 34(8):713–722.
- Sharygin V.V., Kamenetsky V.S., Zhitova L.M., Belousov A.B., Aberstein A.* 2018. Copper-Containing Magnesioferrite in Vesicular Trachyandesite in Lava Tube from the 2012–2013 Eruption of the Tolbachik Volcano, Kamchaka, Russia. Minerals. 8(11):514.
- Simakin A., Salova T., Devyatova V., Zelensky M.* 2015. Reduced carbonic fluid and possible nature of high-K magmas. J. Vulcan. and Geotherm. Res. 307:210–221.
- Zelenski M., Malik N., Taran Yu.* 2014. Emissions of trace elements during the 2012–2013 effusive eruption of Tolbachik volcano, Kamchatka: enrichment factors, portion coefficients and aerosol contribution. J. Vulcan. And Geotherm. Res. 285:36–149.